



ЦИАМ

Центральный институт авиационного
моторостроения имени П.И. Баранова

Программа мультиточных вычислений. Версия 2021 года.

Ю.П. Федорченко, Г.С. Чащин, В.А. Шорстов.



Постановка задачи:

- Ширина абсорбирующего слоя – 50 ячеек
- Кинематическая вязкость $\sim 10^{-5}$

Исследуемые явления:

- Распространение бегущей волны
- Дифракция волн
 - Дифракция Френеля
 - Дифракция Фраунгофера
 - Геометрическое приближение
- Интерференция волн
- Вязкая диссипация

МАТЕМАТИЧЕСКАЯ МОДЕЛЬ

$$\frac{\partial \rho}{\partial t} + \rho \frac{\partial u_\gamma}{\partial x_\gamma} + u_\gamma \frac{\partial \rho}{\partial x_\gamma} = 0$$

$$\rho \frac{\partial u_\alpha}{\partial t} + \rho u_\beta \frac{\partial u_\alpha}{\partial x_\beta} + c_s^2 \frac{\partial \rho}{\partial x_\alpha} = \rho \nu \Delta u_\alpha$$

$$u_\alpha = \frac{\partial \varphi_\nu}{\partial x_\alpha} \quad \frac{\partial^2 \varphi_\nu}{c_s^2 \partial t^2} - \Delta \varphi_\nu = \frac{\nu}{c_s^2} \frac{\partial \Delta \varphi_\nu}{\partial t}$$

$$\psi_\nu = \varphi_\nu e^{-i\omega t} \quad \Delta \psi_\nu + \left(\frac{k}{\sqrt{1 - i \frac{\omega \nu}{c_s^2}}} \right)^2 \psi_\nu = 0 \quad \Delta \psi_\nu + \left(k \sqrt{1 + i \frac{\omega \nu}{c_s^2}} \right)^2 \psi_\nu = 0$$

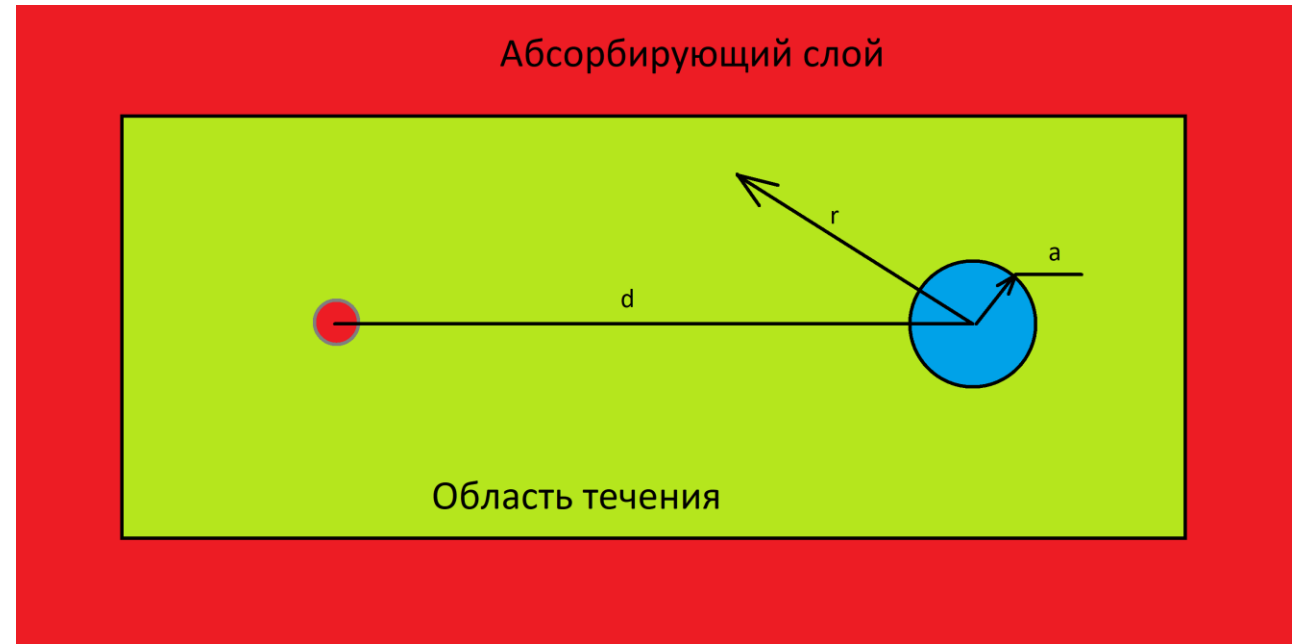


Рис 1. – Геометрия задачи

СТЕПЕННЫЕ РАЗЛОЖЕНИЯ БЕССЕЛЕВЫХ ФУНКЦИЙ

J, Y, H, \tilde{H}

$$\forall z \in \mathbb{C} \wedge \forall n \in \mathbb{Z} \rightarrow J_n(z) = \left(\frac{z}{2}\right)^n \sum_{m=0}^{\infty} \frac{(-1)^m}{m!} \frac{1}{(n+m)!} \left(\frac{z}{2}\right)^{2m},$$

$$\begin{aligned} \mathbb{E} = \quad & \pi Y_n(z) = 2 \left(\gamma_{EM} + \ln \frac{z}{2} \right) J_n(z) - \left(\frac{z}{2}\right)^n \sum_{m=0}^{n-1} \frac{(n-1-m)!}{m!} \left(\frac{z}{2}\right)^{2m} - \\ & - \left(\frac{z}{2}\right)^n \sum_{m=0}^{\infty} \frac{(-1)^m}{m!} \frac{1}{(n+m)!} \left(\frac{z}{2}\right)^{2m} \left(\frac{1}{1} + \frac{1}{2} + \dots + \frac{1}{m} + \frac{1}{1} + \frac{1}{2} + \dots + \frac{1}{n+m} \right), \end{aligned}$$

$$H_n(z) = J_n(z) + iY_n(z), \tilde{H}_n(z) = J_n(z) - iY_n(z)$$

Пространство
бесселевых
функций

$$\gamma_{EM} = \sum_{n=1}^{\infty} \frac{1}{n} - \int_1^{+\infty} \frac{dx}{x} \approx 0,577 \quad \text{Постоянная Эйлера-Маскерони}$$

ПЕРВОЕ РАЗЛОЖЕНИЕ МЕЙССЕЛЯ

$$\forall n \in \mathbb{Z} \wedge \forall z \in \mathbb{C} \mid |z| \sim 1$$

$$J_n(nz) = \frac{(nz)^n \exp(n\sqrt{1-z^2}) \exp(-V(z))}{e^n n! (1-z^2)^{1/4} (1+\sqrt{1-z^2})^n}$$

$$Y_n(z) = \frac{e^n (n-1)! (1+\sqrt{1-z^2})^n \exp(W(z))}{\pi (nz)^n (1-z^2)^{1/4} \exp(n\sqrt{1-z^2})}$$

$$V(z) = \sum_{m=1}^{\infty} U_m(z), W(z) = \sum_{m=1}^{\infty} (-1)^{m+1} U_m(z)$$

$$U_m(z) = \frac{P_m(z^2)}{Q_{3m}(\sqrt{1-z^2})} + r_m;$$

P, Q – полиномы, $r_m = const$

**Границы вычислительной
пригодности**

$$100 \leq n \leq 300, |z| < 0,1n$$

$$300 \leq n \leq 600, |z| < 0,3n$$

$$600 \leq n \leq 1000, |z| < 0,5n$$

$$1000 \leq n \leq 3000, |z| < 0,6n$$

РАЗЛОЖЕНИЕ ЛОММЕЛЯ

$$\forall F \in \Xi \wedge \forall n \in \mathbb{Z} \wedge \forall z, t \in \mathbb{C} \mid |t| < 1 \rightarrow F_n(z\sqrt{1+t}) = (1+t)^{n/2} \sum_{m=0}^{\infty} \frac{(-1)^m \left(\frac{tz}{2}\right)^m}{m!} F_{n+m}(z)$$

Замена переменной: $\lambda = \sqrt{1+t}$ или $t = \lambda^2 - 1, |\lambda^2 - 1| < 1$

Теорема умножения бесселевых функций:

$$F_n(\lambda z) = \lambda^n \sum_{m=0}^{\infty} \frac{(-1)^m (\lambda^2 - 1)^m \left(\frac{1}{2}z\right)^m}{m!} F_{n+m}(z)$$

ТЕОРЕМА СЛОЖЕНИЯ НЕЙМАНА

$$\forall F \in \Xi \wedge \forall n \in \mathbb{Z} \wedge \forall Z, z \in \mathbb{C} \wedge \forall \theta \in [-\pi; \pi) \subset \mathbb{R} \mid |ze^{i\theta}| < |Z|$$

$$F_n\left(\sqrt{Z^2 + z^2 - 2zZ\cos\theta}\right) = \sum_{m=-\infty}^{+\infty} F_{n+m}(Z)J_m(z)e^{i\theta}$$

В частности,

$$H_0\left(\sqrt{Z^2 + z^2 - 2zZ\cos\theta}\right) = H_0(Z)J_0(z) + 2 \sum_{n=1}^{\infty} H_n(Z)J_n(z)\cos(n\theta)$$

ЯВЛЕНИЕ СТОКСА

Ветвление бесселевых функций:

$$\forall F \in \Xi \wedge \forall n \in \mathbb{Z} \wedge \forall z \in \mathbb{C} \wedge \forall \theta \in \mathbb{R} \rightarrow F_n(ze^{i\theta}) = e^{-i\theta} F_n(z)$$

$$\exists \{A_{n,m}(z), R_{n,m}(z)\} \quad | \quad F_n(z) = \sum_{m=1}^M A_{n,m}(z) + R_{n.M}(z), \quad \text{тогда}$$

$$\sum_{m=1}^M A_{n,m}(ze^{i\theta}) + R_{n.M}(ze^{i\theta}) = e^{-i\theta} \sum_{m=1}^M A_{n,m}(z) + e^{-i\theta} R_{n.M}(z)$$

НЕВЯЗКОЕ РЕШЕНИЕ

$$\rho' = Q \left[H_0(kd)J_0(kr) - H_0(kd) \frac{J'_0(ka)}{H'_0(ka)} H_0(kr) + 2 \sum_{n=1}^{\infty} \left(H_n(kd)J_n(kr) - H_n(kd) \frac{J'_n(ka)}{H'_n(ka)} H_n(kr) \right) \cos(n\theta) \right],$$

если $r < d$

$$\rho' = Q \left[H_0(kr)J_0(kd) - H_0(kr) \frac{J'_0(ka)}{H'_0(ka)} H_0(kd) + 2 \sum_{n=1}^{\infty} \left(H_n(kr)J_n(kd) - H_n(kr) \frac{J'_n(ka)}{H'_n(ka)} H_n(kd) \right) \cos(n\theta) \right],$$

если $r < d$

$$k = \frac{2\pi}{\lambda} - \text{волновое число}$$

ТОЧНОЕ РЕШЕНИЕ

$$\rho' = Q \left[H_0(k_v d) J_0(k_v r) - H_0(kd) \frac{J'_0(k_v a)}{H'_0(k_v a)} H_0(k_v r) + 2 \sum_{n=1}^{\infty} \left(H_n(k_v d) J_n(k_v r) - H_n(k_v d) \frac{J'_n(k_v a)}{H'_n(k_v a)} H_n(k_v r) \right) \cos(n\theta) \right],$$

если $r < d$

$$\rho' = Q \left[H_0(k_v r) J_0(k_v d) - H_0(k_v r) \frac{J'_0(k_v a)}{H'_0(k_v a)} H_0(k_v d) + 2 \sum_{n=1}^{\infty} \left(H_n(k_v r) J_n(k_v d) - H_n(k_v d) \frac{J'_n(k_v a)}{H'_n(k_v a)} H_n(k_v r) \right) \cos(n\theta) \right],$$

если $r < d$

$$k_v = k \sqrt{1 + i \frac{\omega \nu}{c_s^2}}, \quad k = \frac{2\pi}{\lambda} \text{ — волновые числа}$$

ПРИБЛИЖЁННОЕ РЕШЕНИЕ

$$\rho' = Q \left[H_0(k_v d) J_0(k_v r) - H_0(kd) \frac{J'_0(ka)}{H'_0(ka)} H_0(k_v r) + 2 \sum_{n=1}^{\infty} \left(H_n(k_v d) J_n(k_v r) - H_n(k_v d) \frac{J'_n(ka)}{H'_n(ka)} H_n(k_v r) \right) \cos(n\theta) \right],$$

если $r < d$

$$\rho' = Q \left[H_0(k_v r) J_0(k_v d) - H_0(k_v r) \frac{J'_0(ka)}{H'_0(ka)} H_0(k_v d) + 2 \sum_{n=1}^{\infty} \left(H_n(k_v r) J_n(k_v d) - H_n(k_v d) \frac{J'_n(ka)}{H'_n(ka)} H_n(k_v r) \right) \cos(n\theta) \right],$$

если $r < d$

$$k_v = k \sqrt{1 + i \frac{\omega \nu}{c_s^2}}, \quad k = \frac{2\pi}{\lambda} \text{ — волновые числа}$$

ДИФРАКЦИЯ ФРЕНЕЛЯ (МАЛОЕ РАССТОЯНИЕ)

Сетка – 600*300

$\lambda = 20, d = 300, a = 40$

$$p = \frac{\sqrt{\lambda d}}{2a} \approx 0,968$$

$$\infty = 300$$

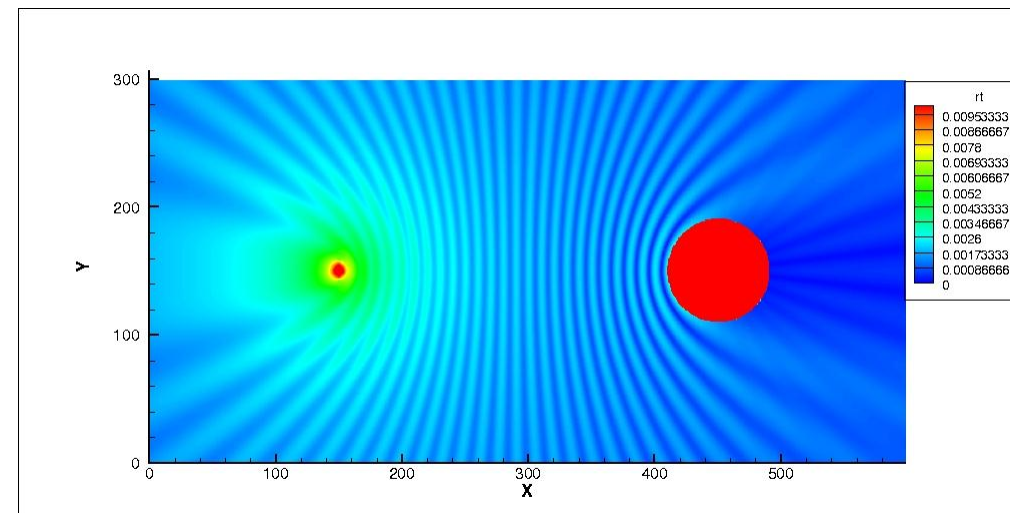


Рис 2. – Невязкое решение

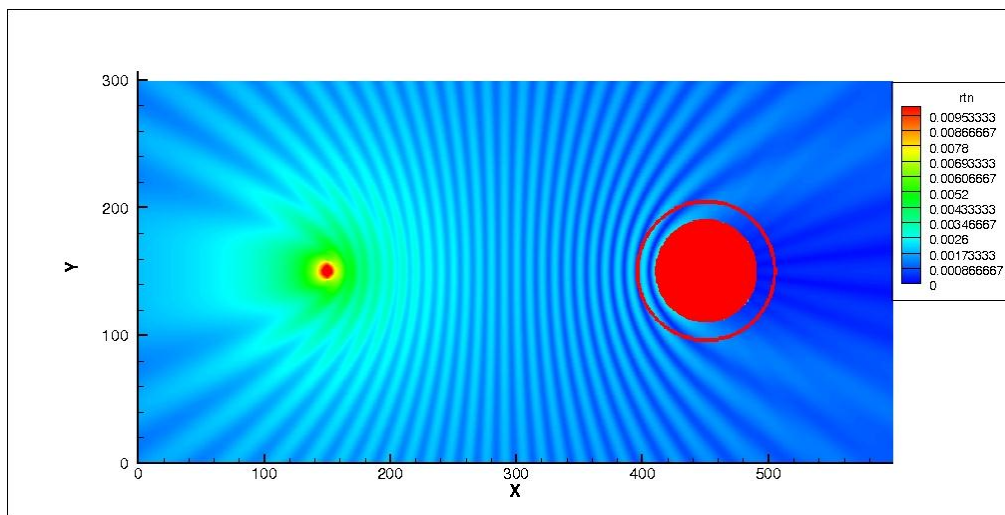


Рис 3. – Точное решение

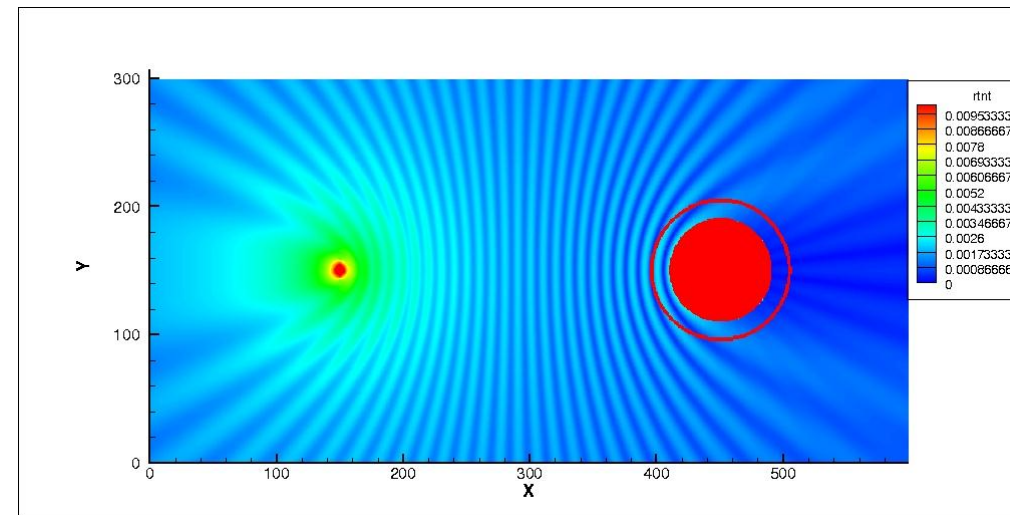


Рис 4. – Приближённое решение

ДИФРАКЦИЯ ФРЕНЕЛЯ (МАЛОЕ РАССТОЯНИЕ)

Сетка – 600*300

$\lambda = 20, d = 300, a = 40$

$p = \frac{\sqrt{\lambda d}}{2a} \approx 0,968$

$\infty = 300$

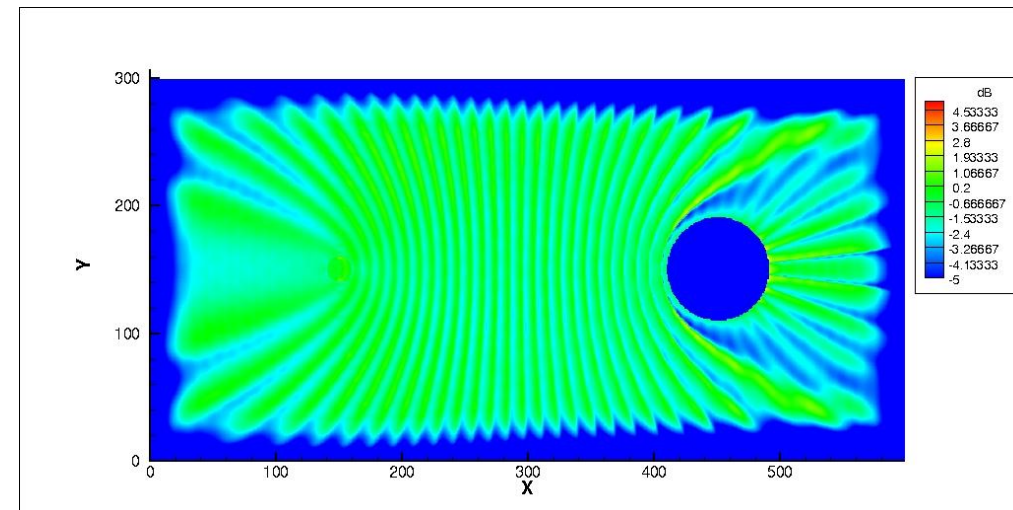


Рис 5. – Ошибки невязкого решения

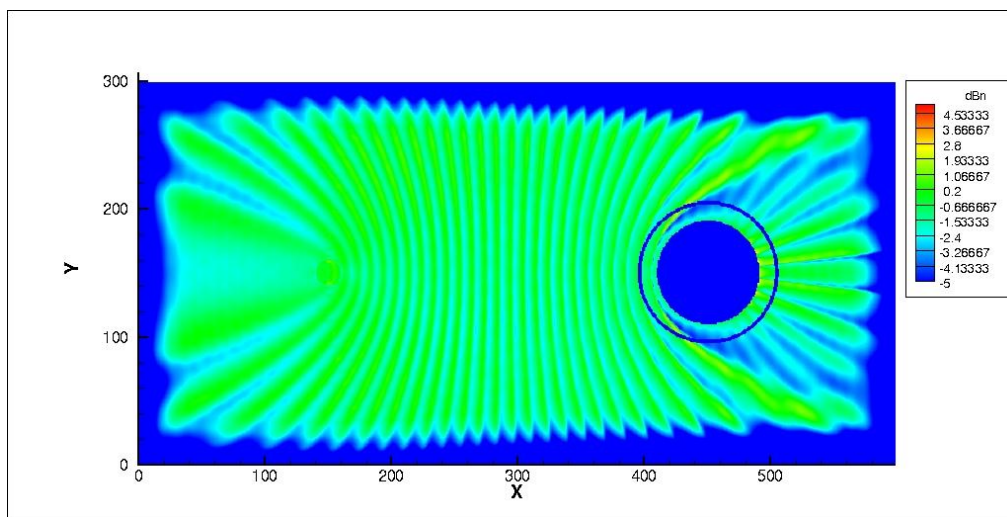


Рис 6. – Ошибки точного решения

ДИФРАКЦИЯ ФРЕНЕЛЯ (МАЛОЕ РАССТОЯНИЕ)

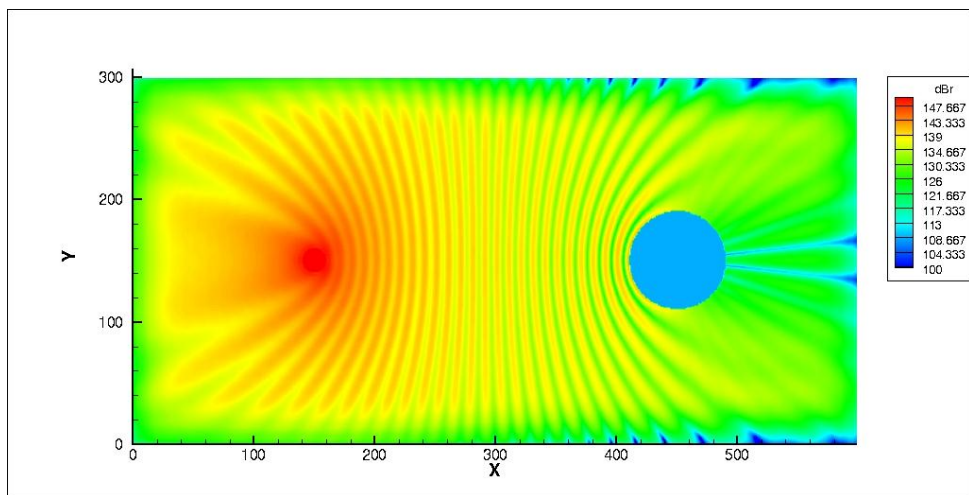


Рис 7. – Уровень шума численный

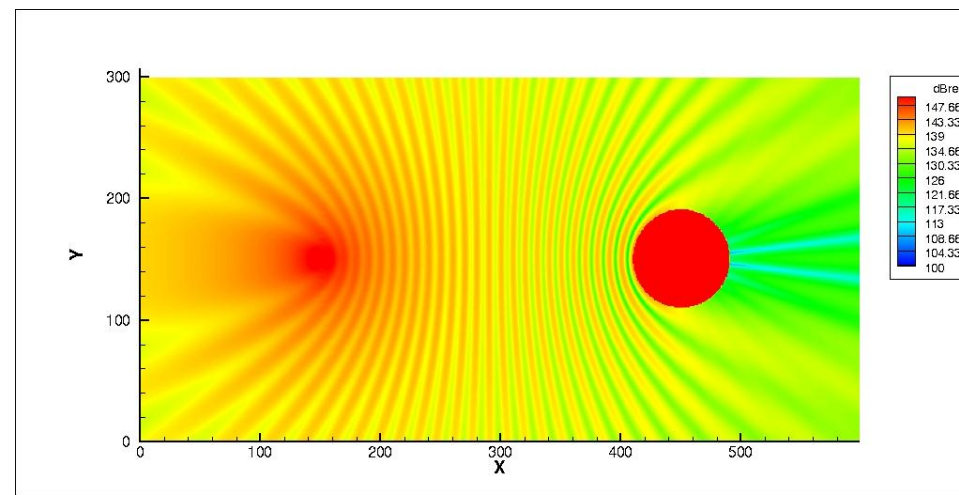


Рис 8. – Уровень шума невязкого решения

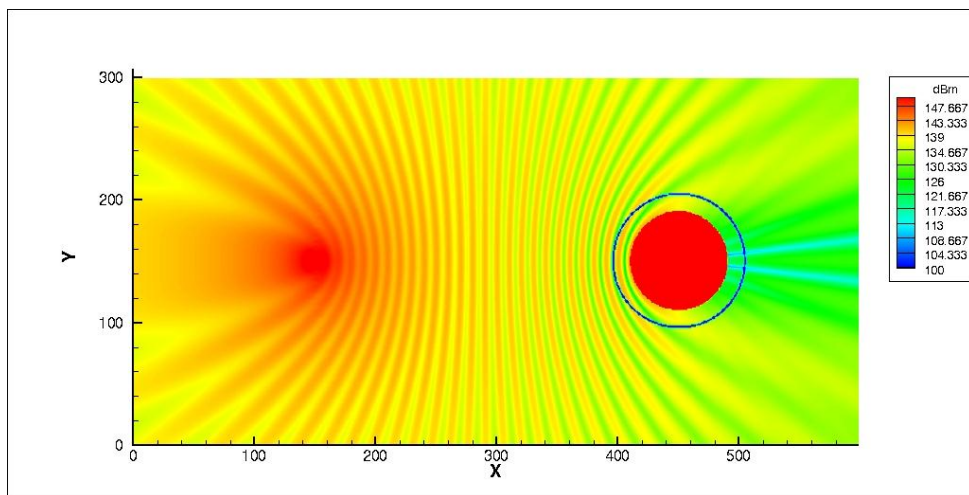


Рис 9. – Уровень шума точного решения

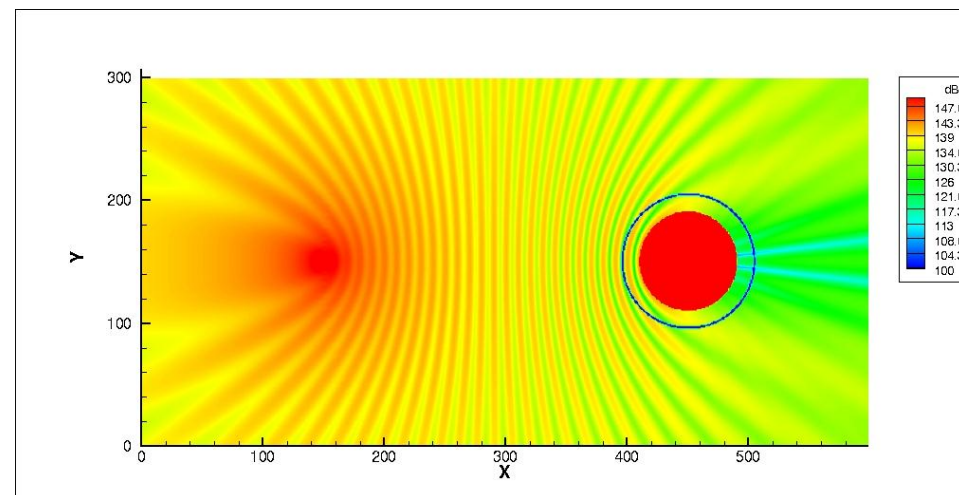


Рис 10. – Уровень шума приближённого решения

ДИФРАКЦИЯ ФРЕНЕЛЯ (МАЛОЕ РАССТОЯНИЕ)

Сетка – 600*300

$\lambda = 20, d = 3000, a = 40$

$p = \frac{\sqrt{\lambda d}}{2a} \approx 0,968$

$\infty = 300$

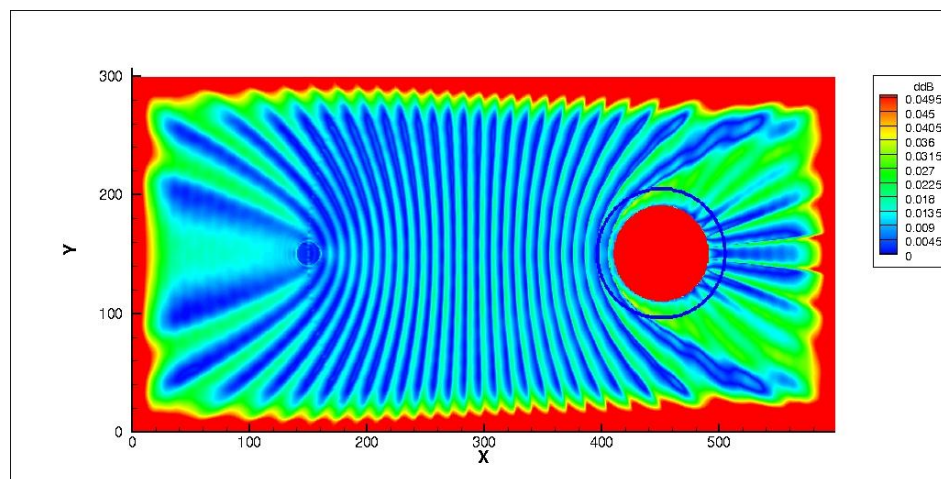


Рис 11. – Ошибки шума точного решения

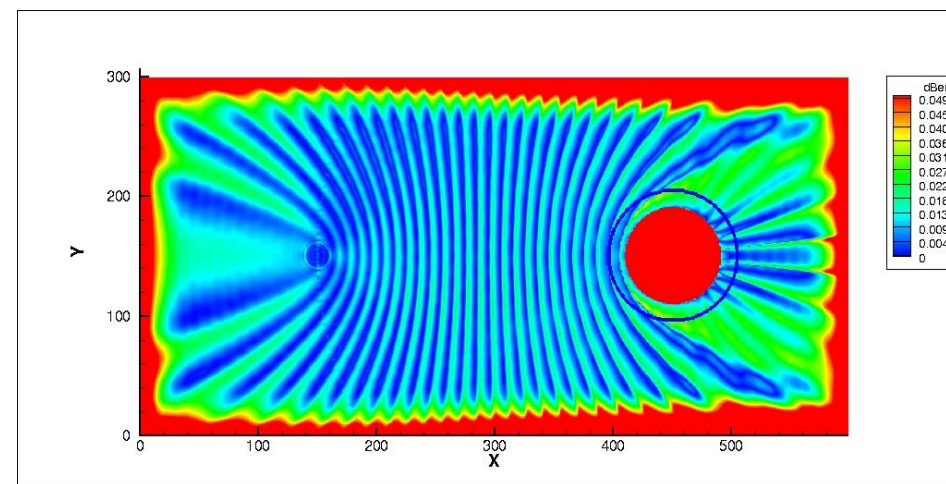


Рис 12. – Ошибки шума приближённого решения

ДИФРАКЦИЯ ФРЕНЕЛЯ (БОЛЬШОЕ РАССТОЯНИЕ)

Сетка – 1200*600

$\lambda = 20, d = 600, a = 50$

$$p = \frac{\sqrt{\lambda d}}{2a} \approx 1,095$$

$$\infty = 100$$

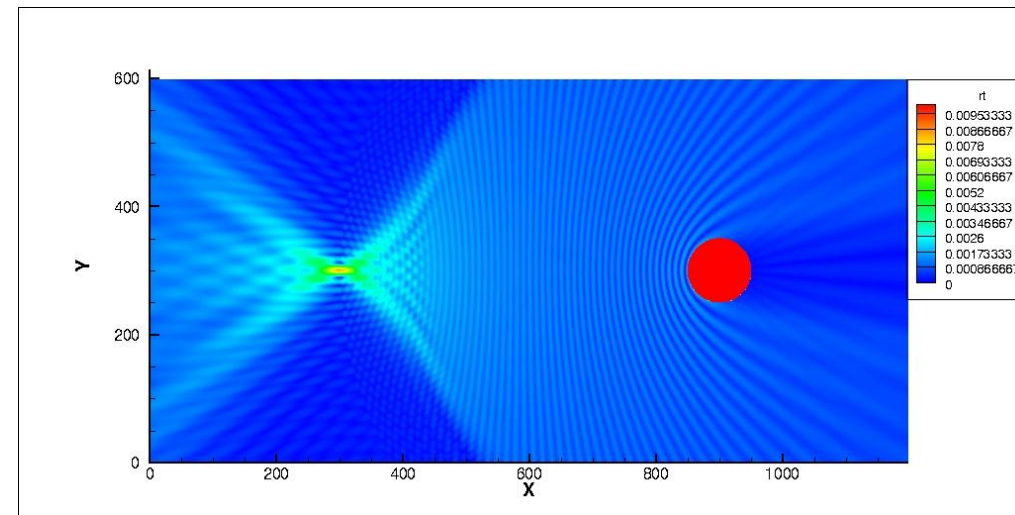


Рис 13. – Невязкое решение

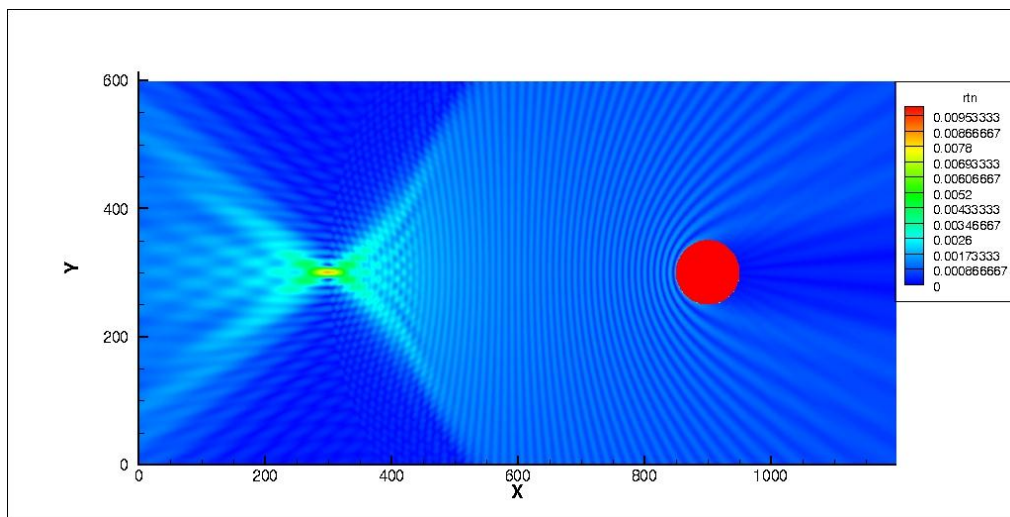


Рис 14. – Точное решение

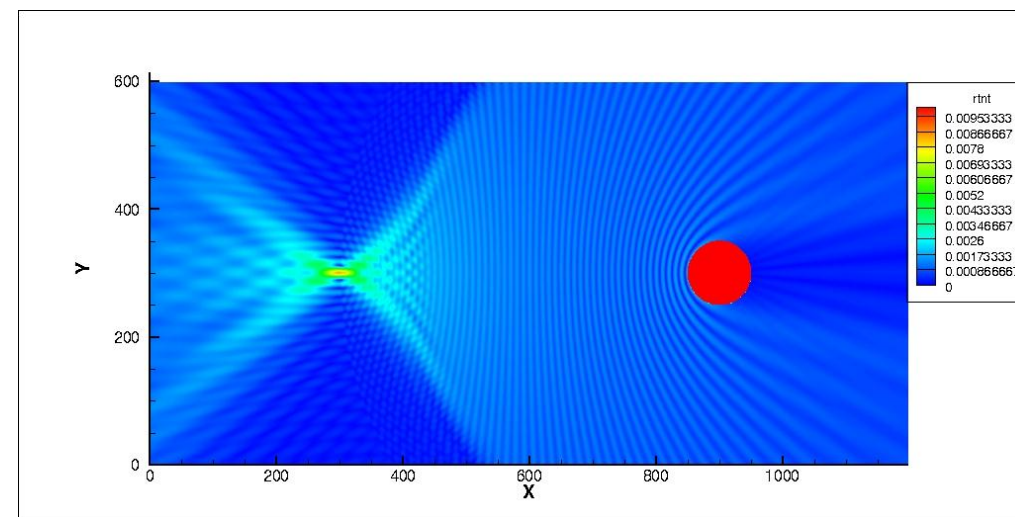


Рис 15. – Приближённое решение

ДИФРАКЦИЯ ФРЕНЕЛЯ (БОЛЬШОЕ РАССТОЯНИЕ)

Сетка – 1200*600

$\lambda = 20, d = 600, a = 50$

$$p = \frac{\sqrt{\lambda d}}{2a} \approx 1,095$$

$$\infty = 100$$

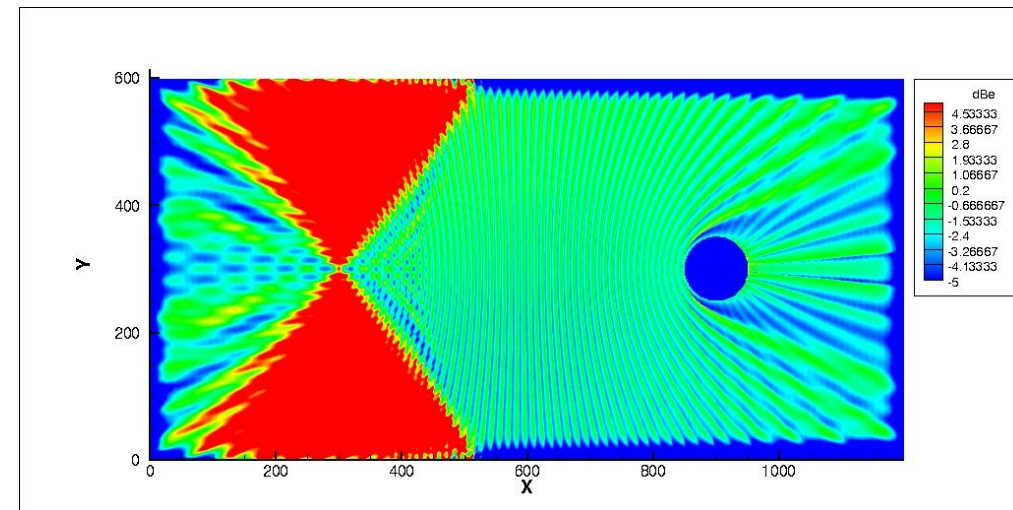


Рис 16. – Ошибки невязкого решения

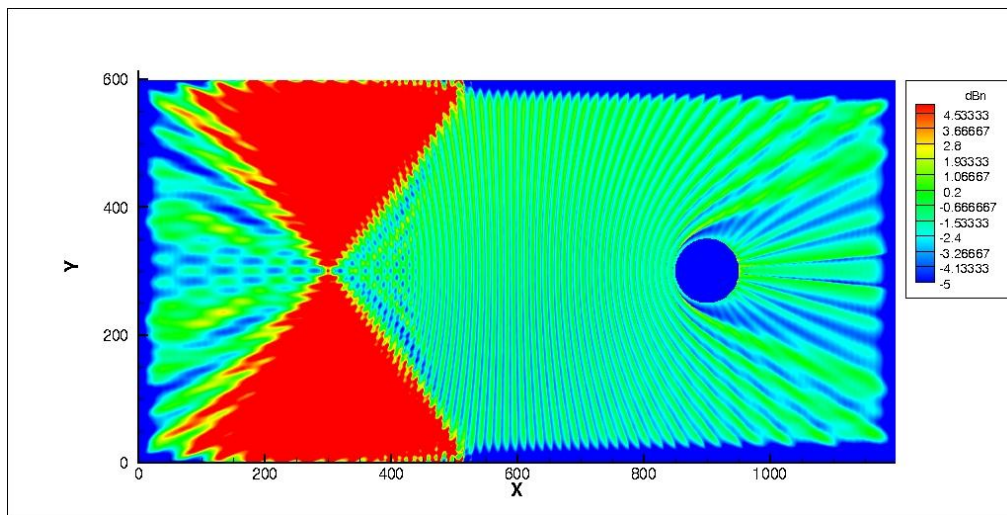


Рис 17. – Ошибки точного решения

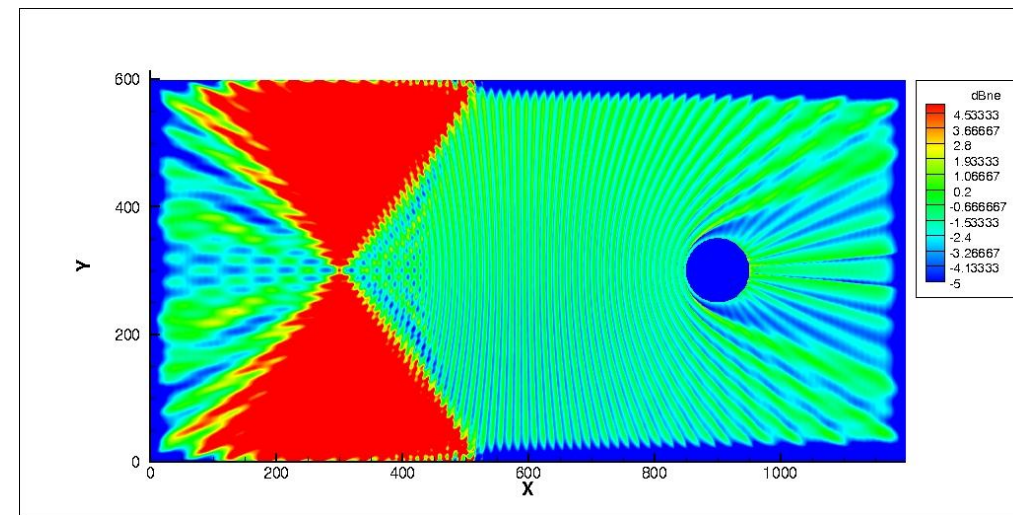


Рис 18. – Ошибки приближённого решения

ДИФРАКЦИЯ ФРЕНЕЛЯ (БОЛЬШОЕ РАССТОЯНИЕ)

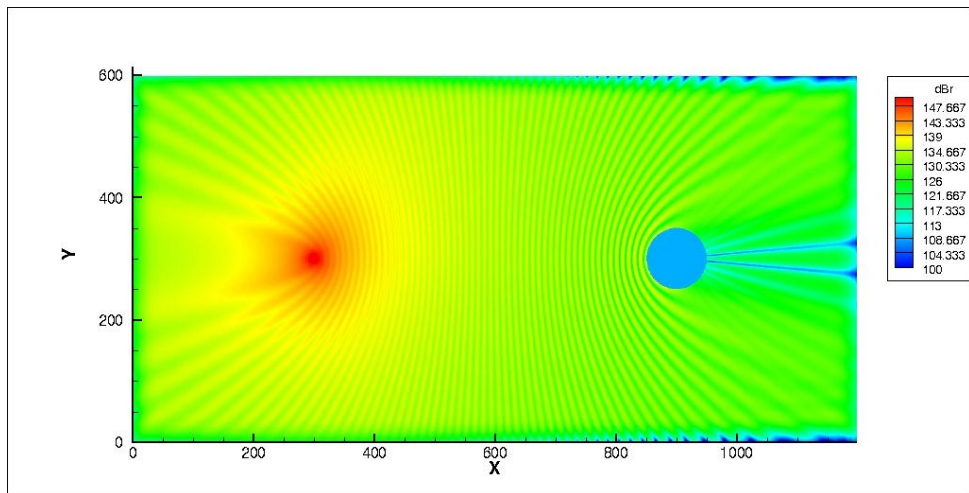


Рис 19. – Уровень шума численный

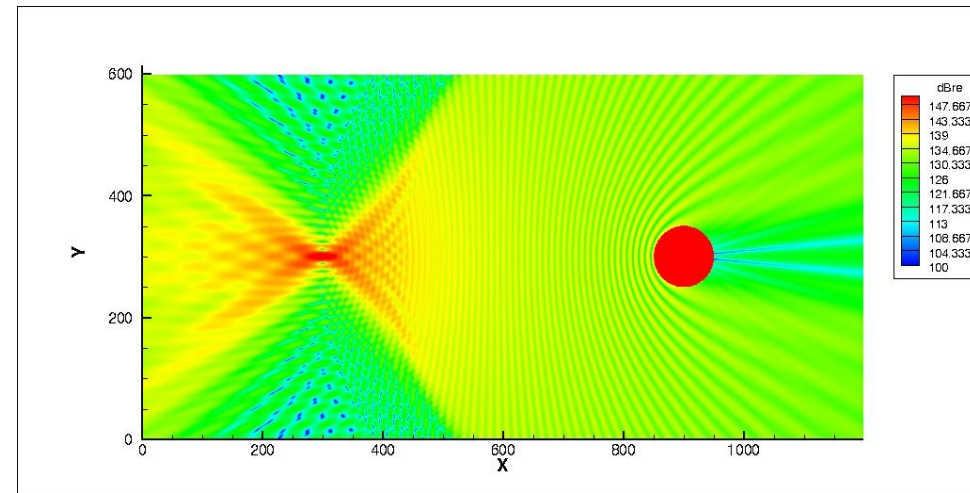


Рис 20. – Уровень шума невязкого решения

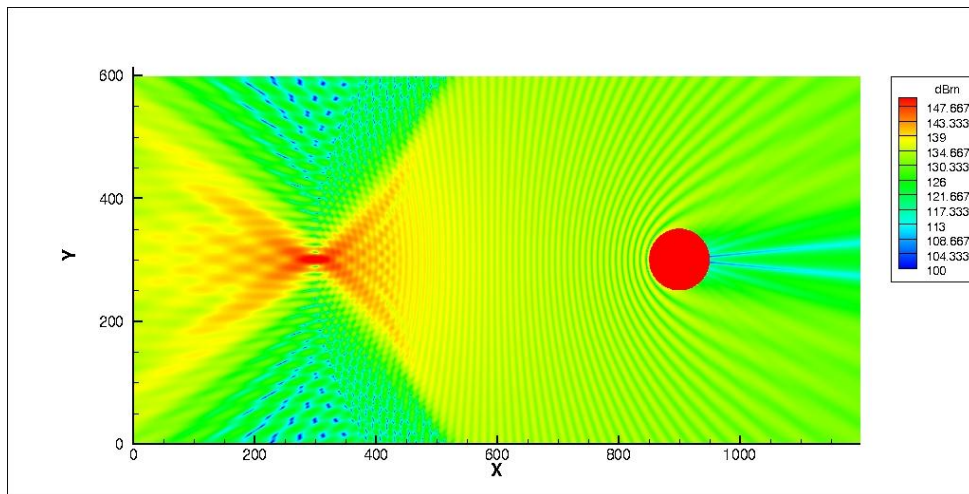


Рис 21. – Уровень шума точного решения

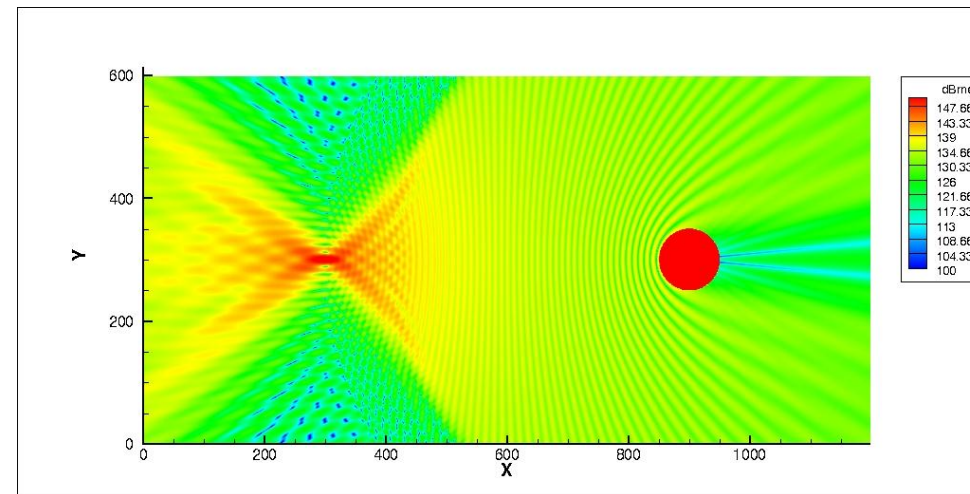


Рис 22. – Уровень шума приближённого решения

ДИФРАКЦИЯ ФРЕНЕЛЯ (БОЛЬШОЕ РАССТОЯНИЕ)

Сетка – 1200*600

$\lambda = 20, d = 600, a = 50$

$p = \frac{\sqrt{\lambda d}}{2a} \approx 1,095$

$\infty = 100$

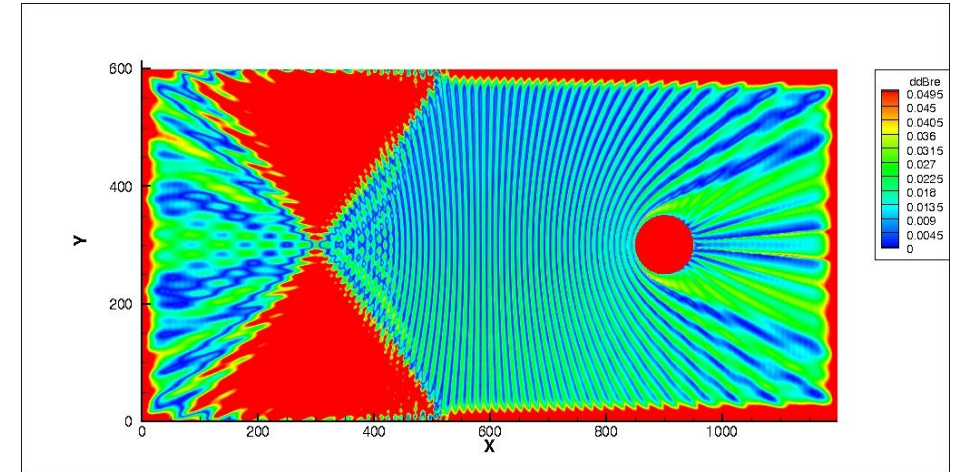


Рис 23. – Ошибки шума невязкого решения

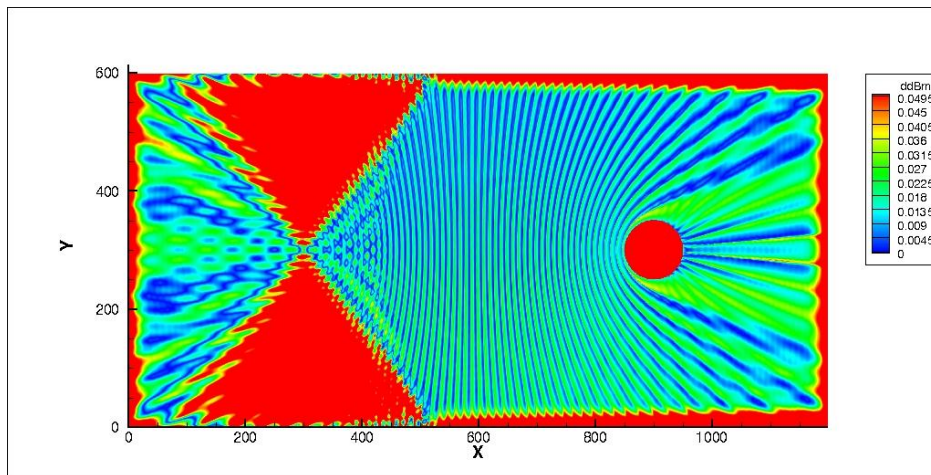


Рис 24. – Ошибки шума точного решения

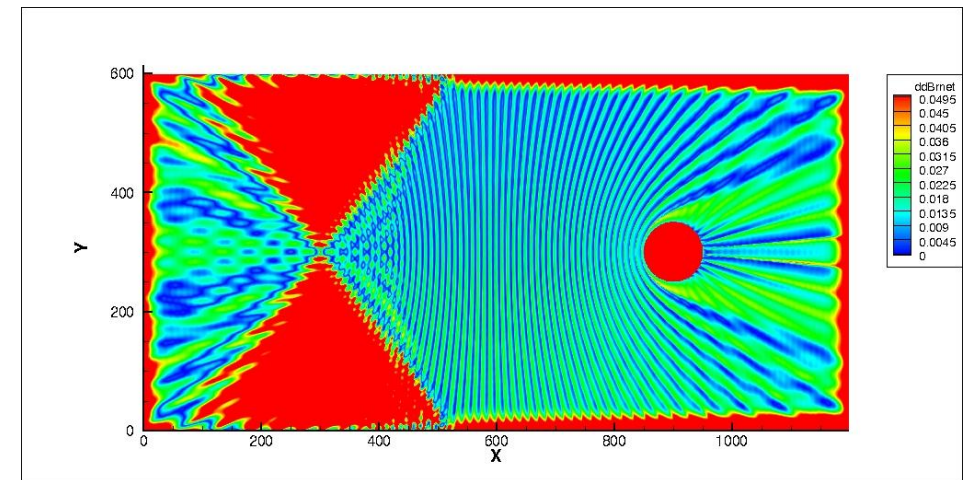


Рис 25. – Ошибки шума приближённого решения

ДИФРАКЦИЯ ФРАУНГОФЕРА (БОЛЬШОЕ РАССТОЯНИЕ)

Сетка – 1200*600

$\lambda = 20, d = 240, a = 20$

$$p = \frac{\sqrt{\lambda d}}{2a} \approx 1,732$$

$$\infty = 200$$

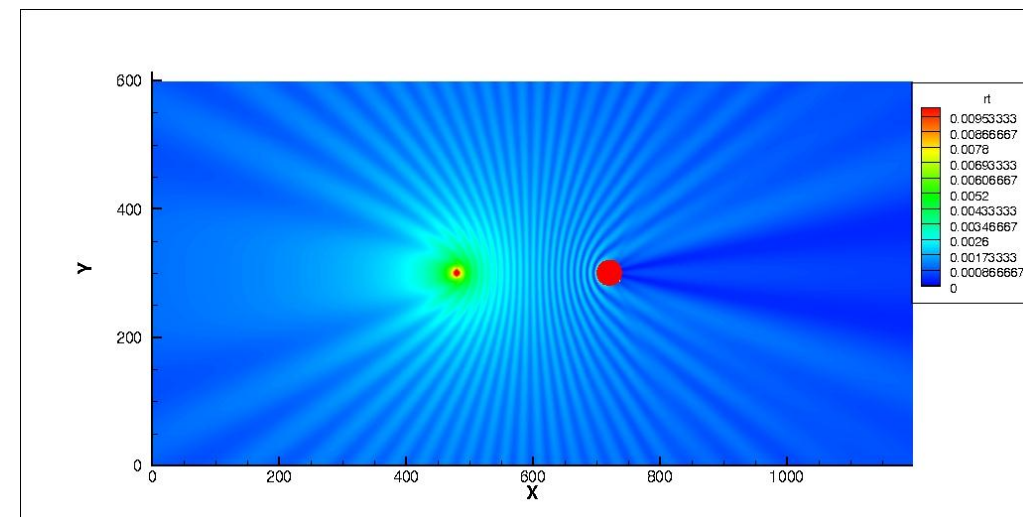


Рис 26. – Невязкое решение

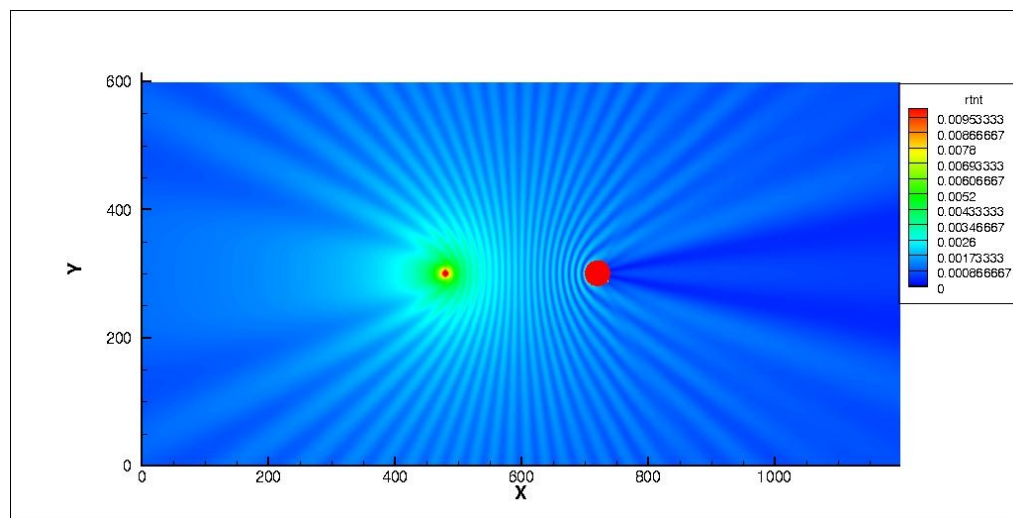


Рис 27. – Точное решение

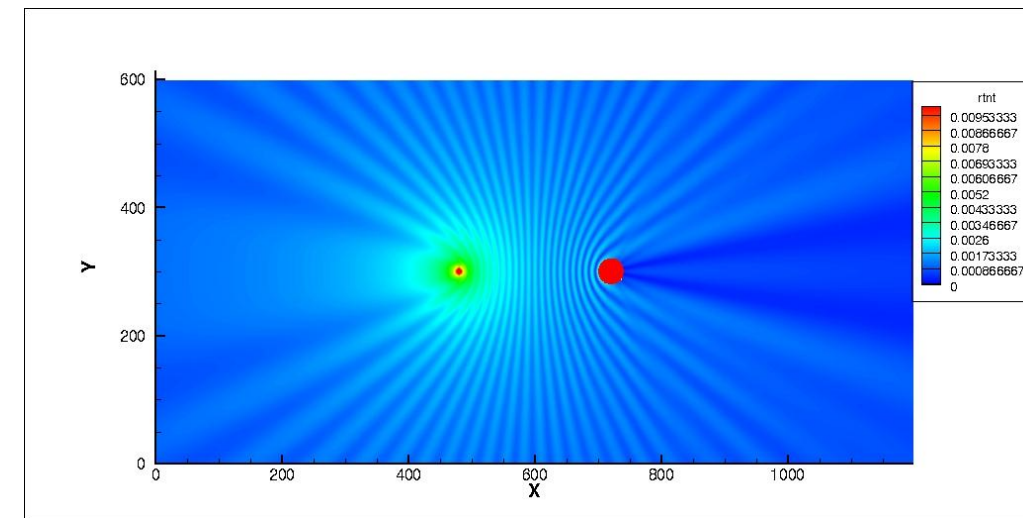


Рис 28. – Приближённое решение

ДИФРАКЦИЯ ФРАУНГОФЕРА (БОЛЬШОЕ РАССТОЯНИЕ)

Сетка – 1200*600

$\lambda = 20, d = 240, a = 20$

$p = \frac{\sqrt{\lambda d}}{2a} \approx 1,732$

$\infty = 200$

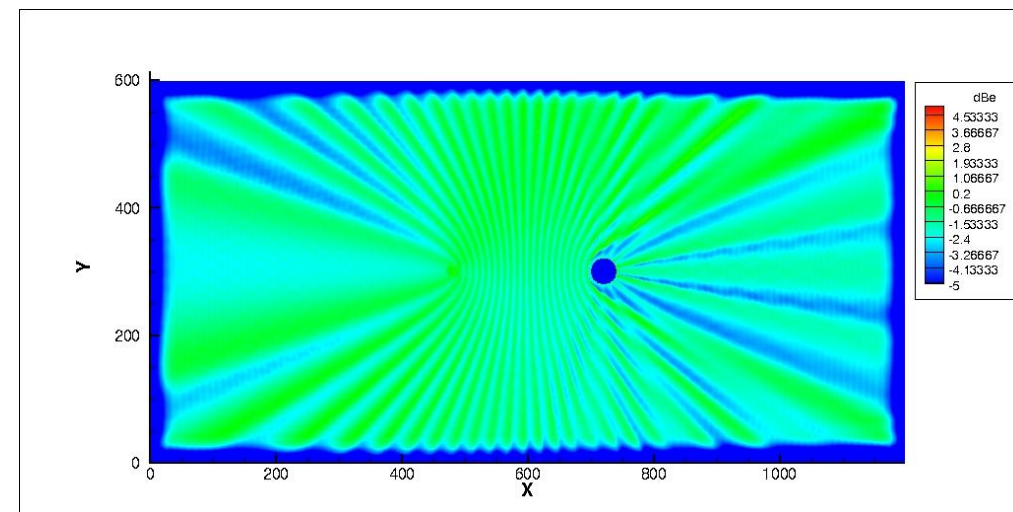


Рис 29. – Ошибки невязкого решения

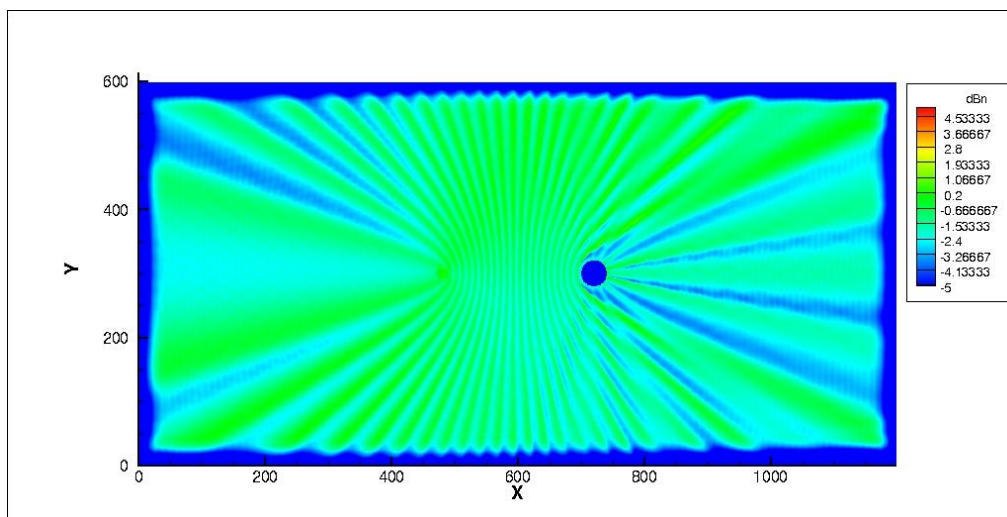


Рис 30. – Ошибки точного решения

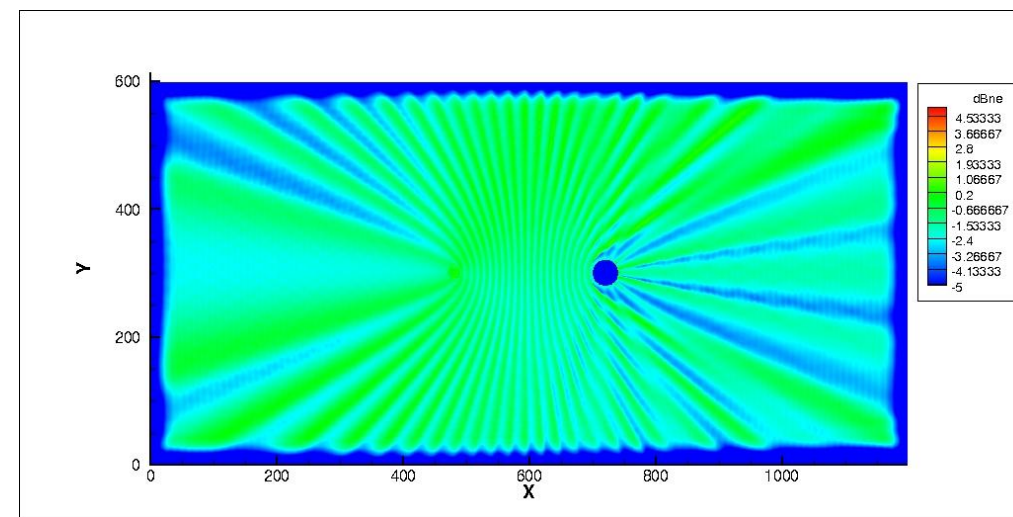


Рис 31. – Ошибки приближённого решения

ДИФРАКЦИЯ ФРАУНГОФЕРА (БОЛЬШОЕ РАССТОЯНИЕ)

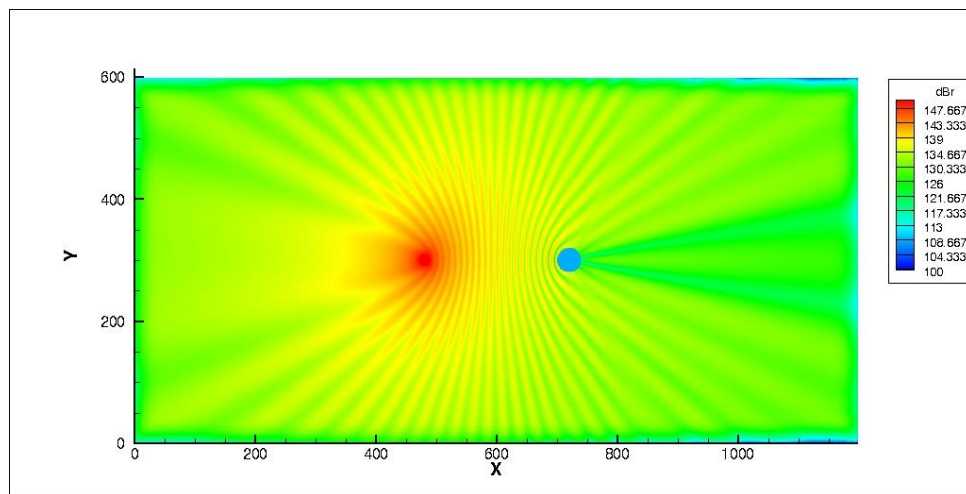


Рис 32. – Уровень шума численный

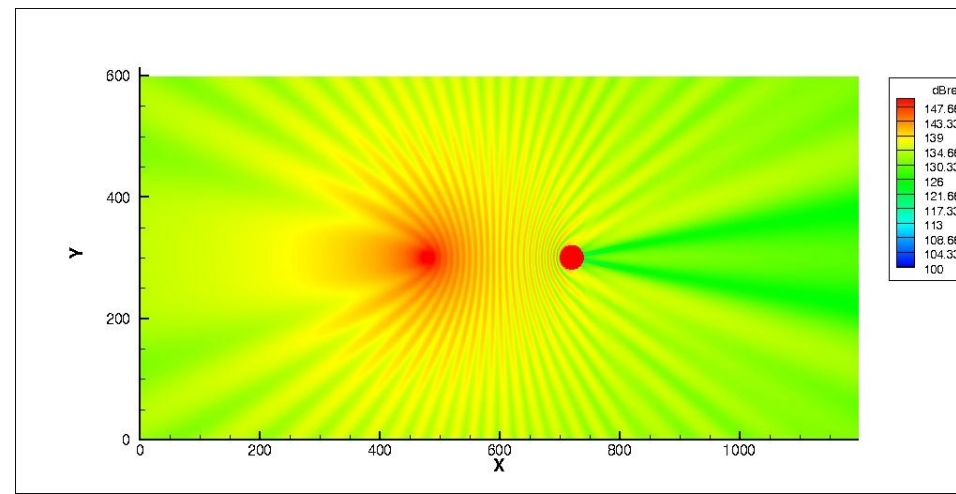


Рис 33. – Уровень шума невязкого решения

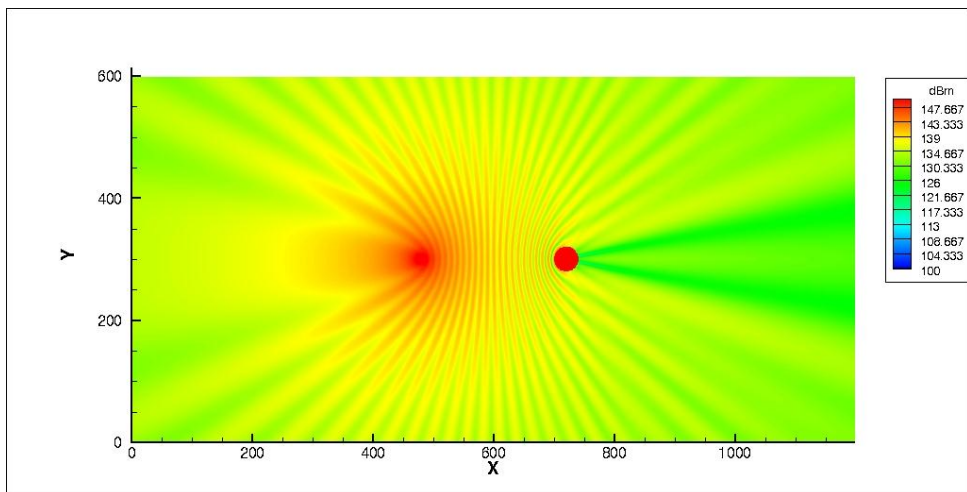


Рис 34. – Уровень шума точного решения

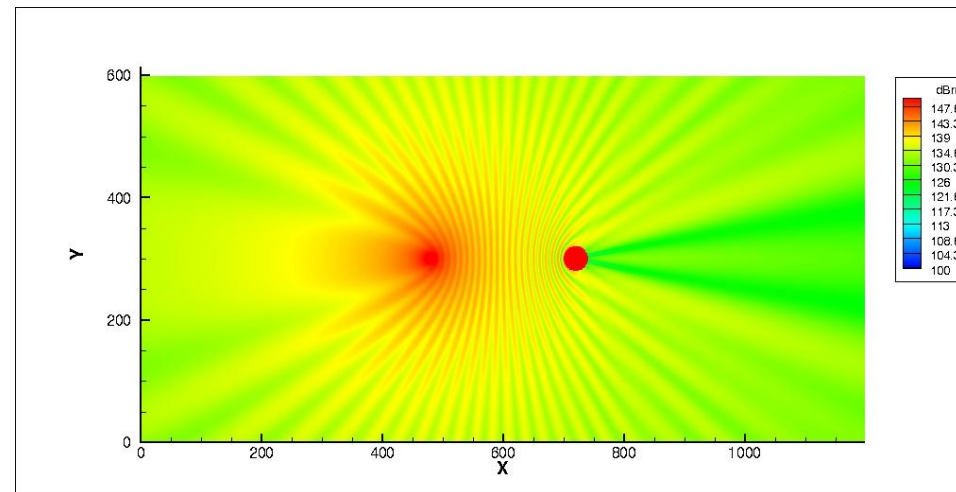


Рис 35. – Уровень шума приближённого решения

ДИФРАКЦИЯ ФРАУНГОФЕРА (БОЛЬШОЕ РАССТОЯНИЕ)

Сетка – 1200*600

$\lambda = 20, d = 240, a = 20$

$$p = \frac{\sqrt{\lambda d}}{2a} \approx 1,732$$

$$\infty = 200$$

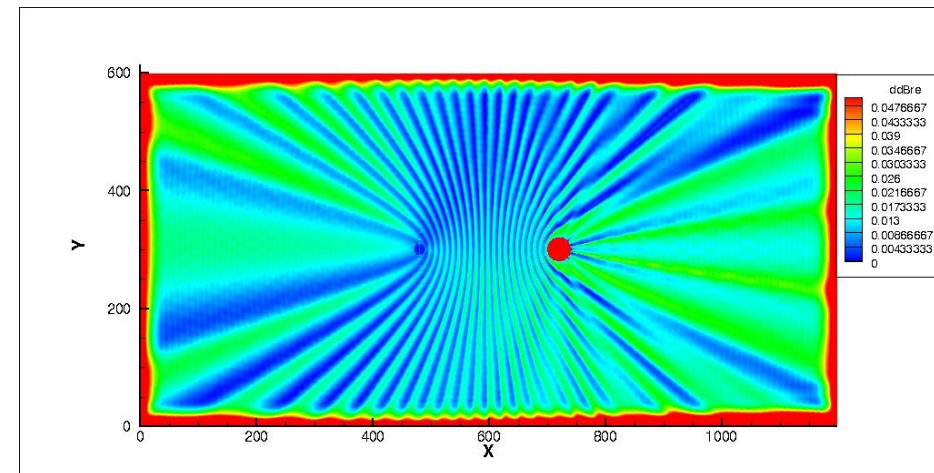


Рис 36. – Ошибки шума невязкого решения

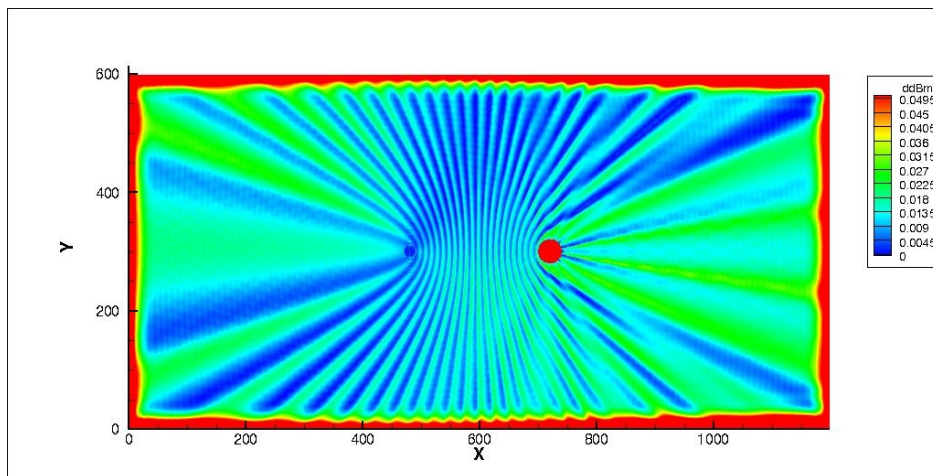


Рис 37. – Ошибки шума точного решения

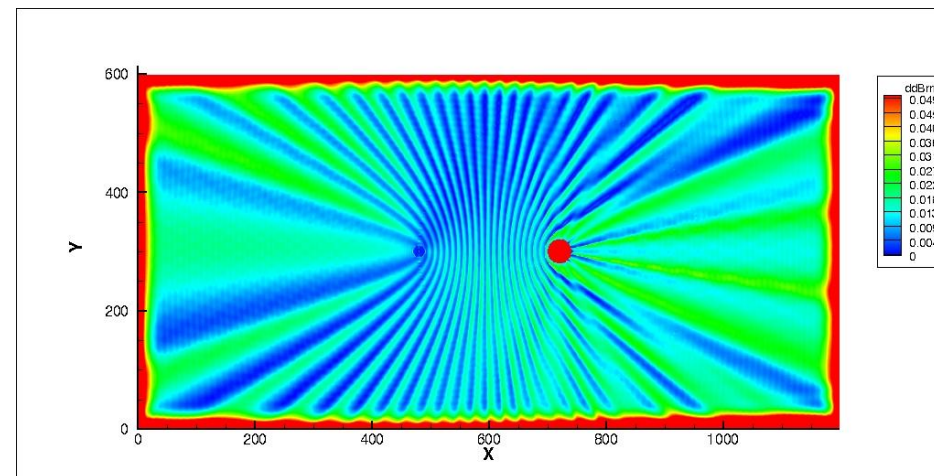


Рис 38. – Ошибки шума приближённого решения

ДИФРАКЦИЯ ФРАУНГОФЕРА (МАЛОЕ РАССТОЯНИЕ)

Сетка – 1200*600

$\lambda = 80, d = 120, a = 5$

$$p = \frac{\sqrt{\lambda d}}{2a} \approx 9,798$$

$$\infty = 150$$

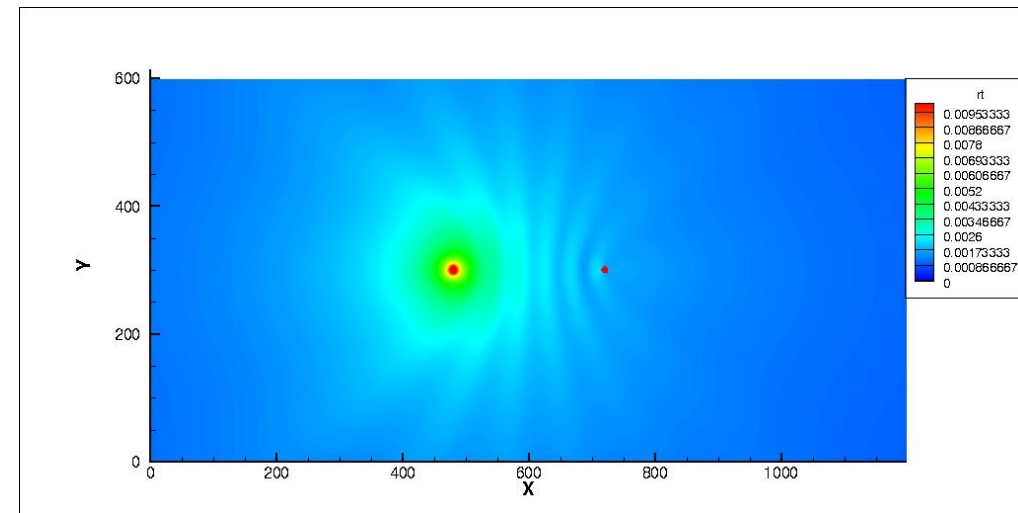


Рис 39. – Невязкое решение

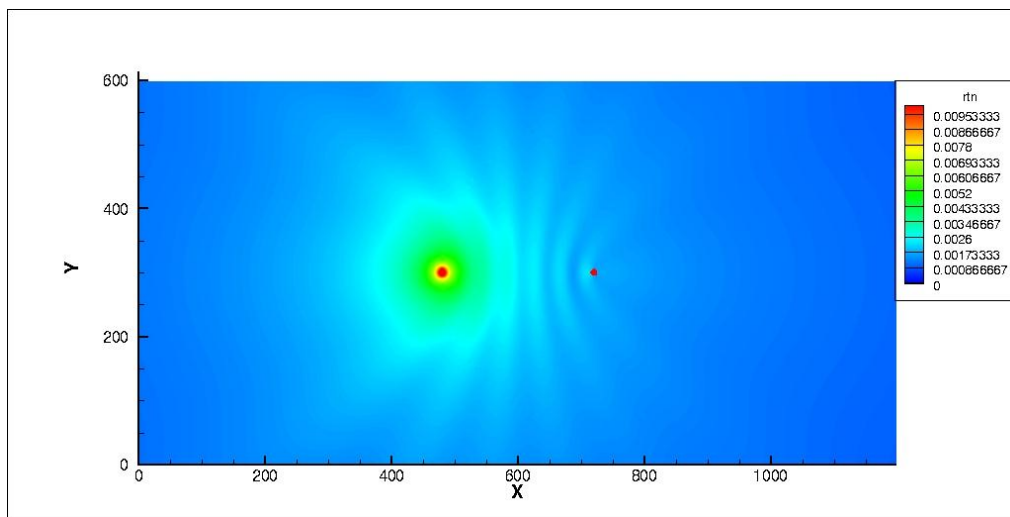


Рис 40. – Точное решение

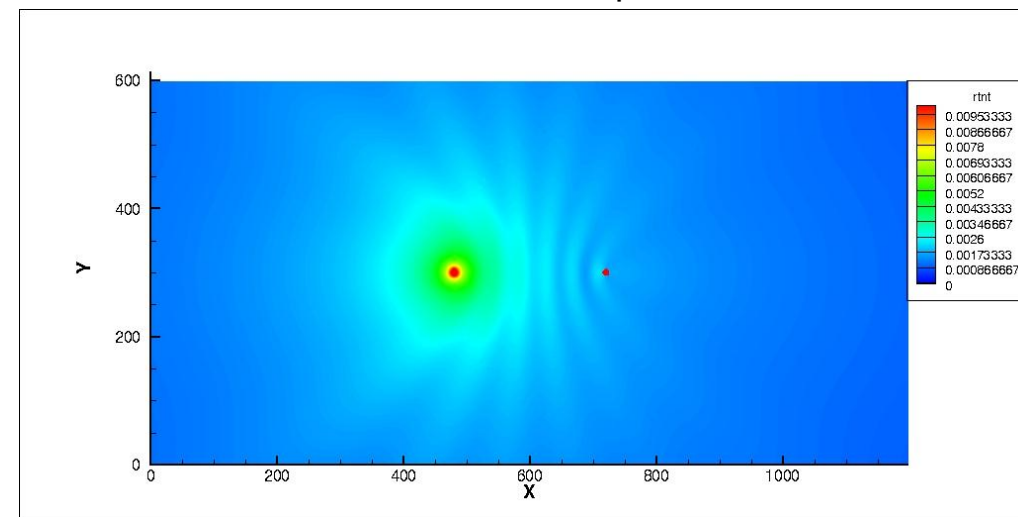


Рис 41. – Приближённое решение

ДИФРАКЦИЯ ФРАУНГОФЕРА (МАЛОЕ РАССТОЯНИЕ)

Сетка – 1200*600

$\lambda = 80, d = 120, a = 5$

$p = \frac{\sqrt{\lambda d}}{2a} \approx 9,798$

$\infty = 150$

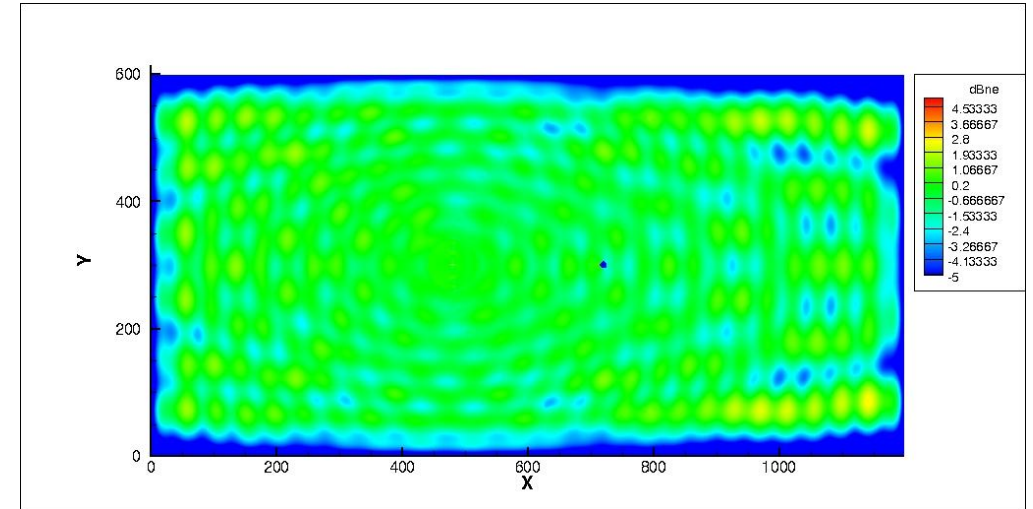


Рис 42. – Ошибки невязкого решения

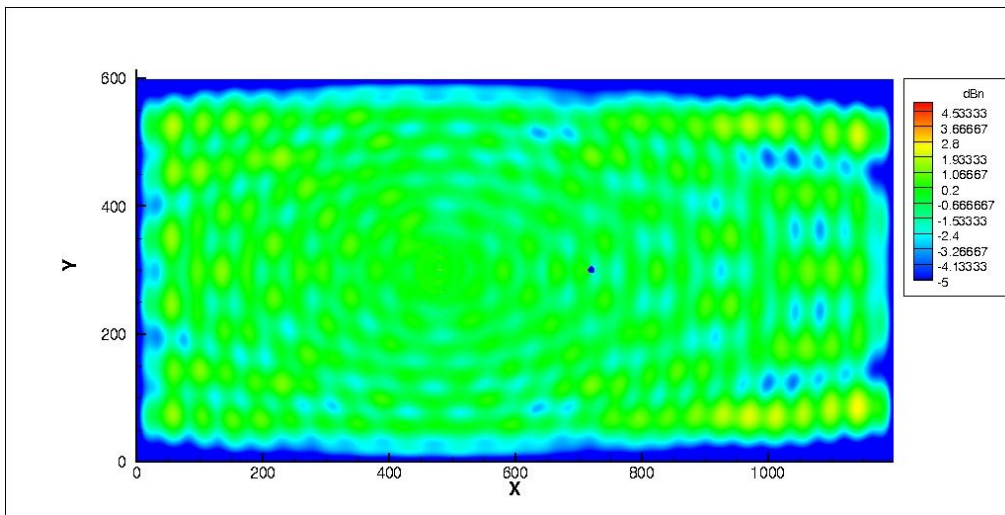


Рис 43. – Ошибки точного решения

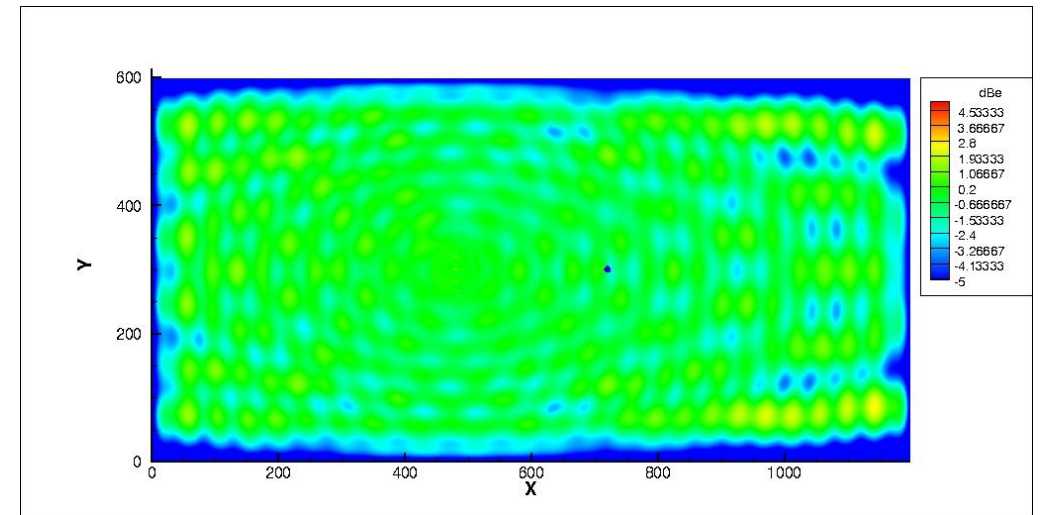


Рис 44. – Ошибки приближённого решения

ДИФРАКЦИЯ ФРАУНГОФЕРА (МАЛОЕ РАССТОЯНИЕ)

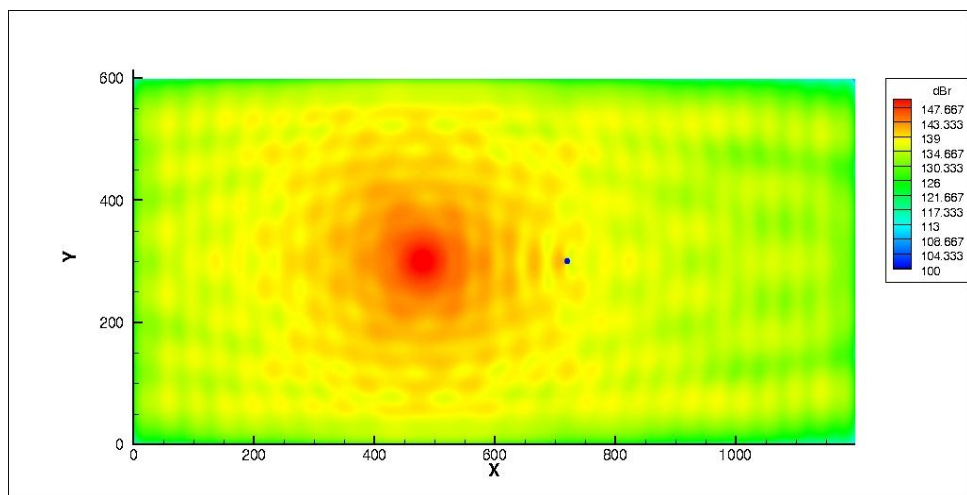


Рис 45. – Уровень шума численный

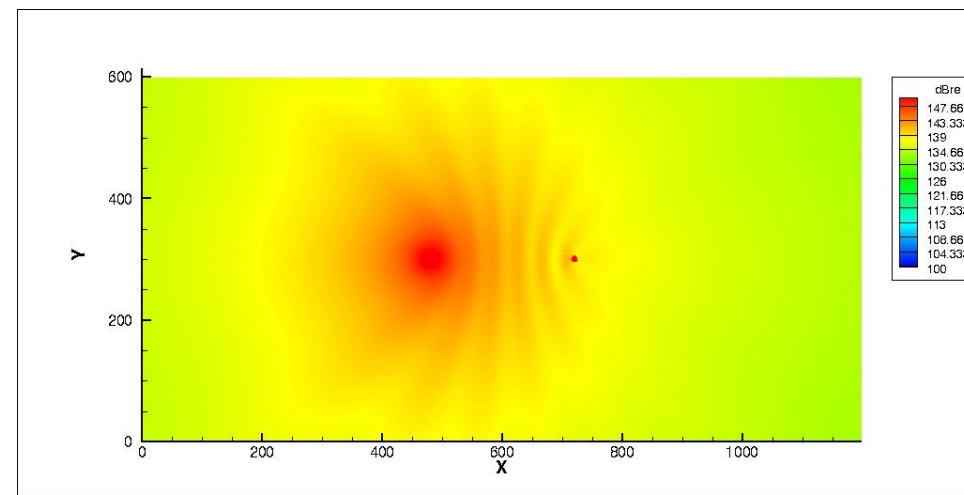


Рис 46. – Уровень шума невязкого решения

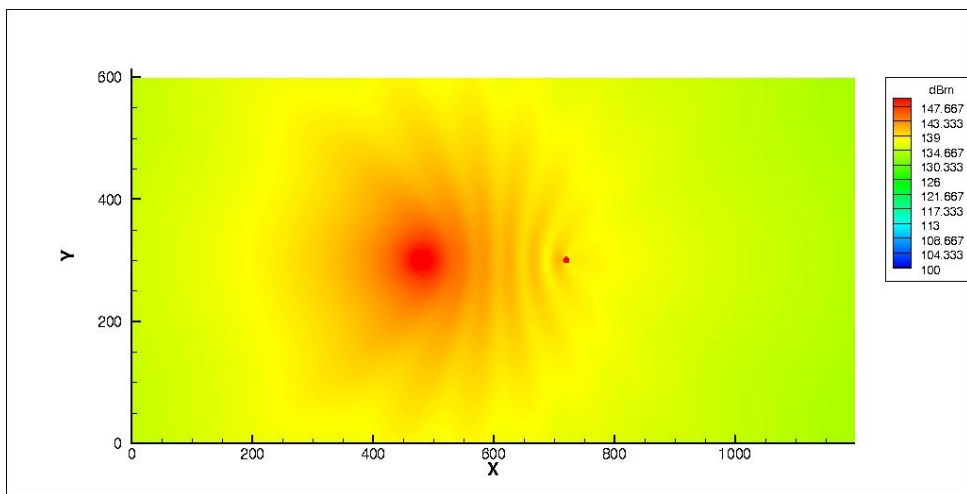


Рис 47. – Уровень шума точного решения

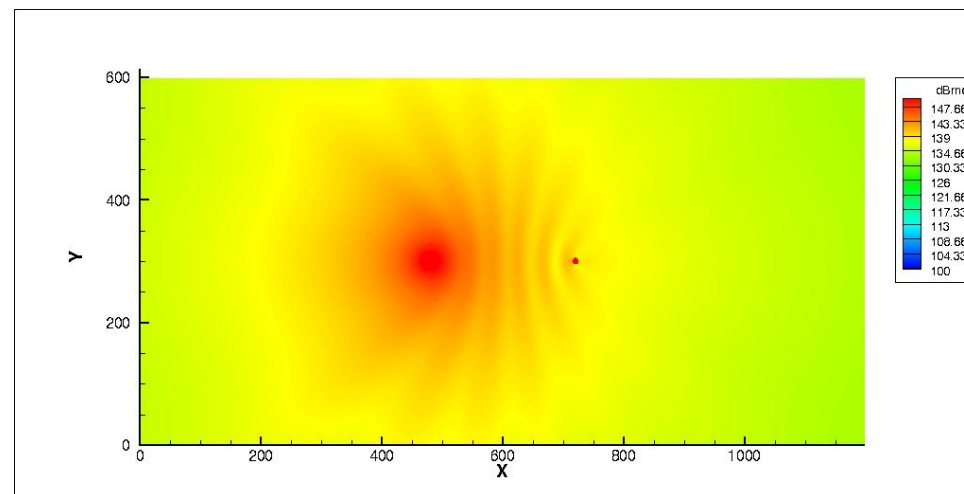


Рис 48. – Уровень шума приближённого решения

ДИФРАКЦИЯ ФРАУНГОФЕРА (МАЛОЕ РАССТОЯНИЕ)

Сетка – 1200*600

$$\lambda = 80, d = 120, a = 5$$

$$p = \frac{\sqrt{\lambda d}}{2a} \approx 9,798$$

$$\infty = 150$$

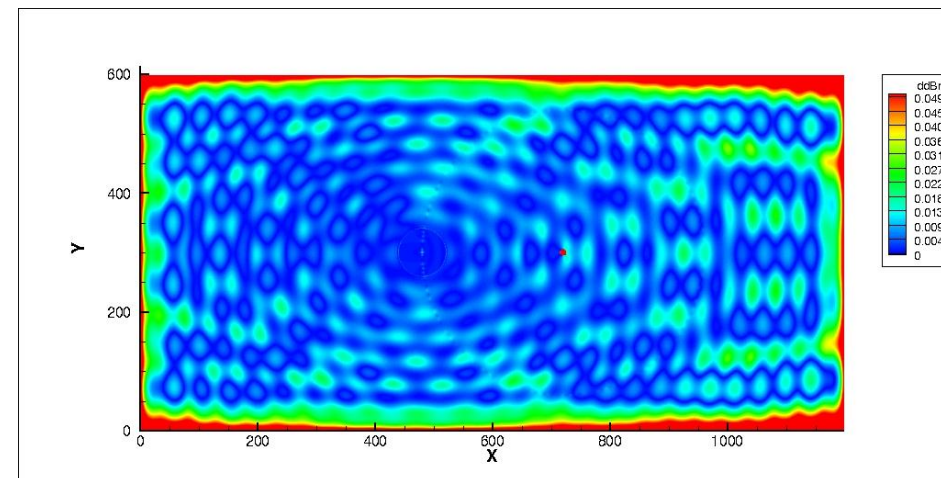


Рис 49. – Ошибки шума невязкого решения

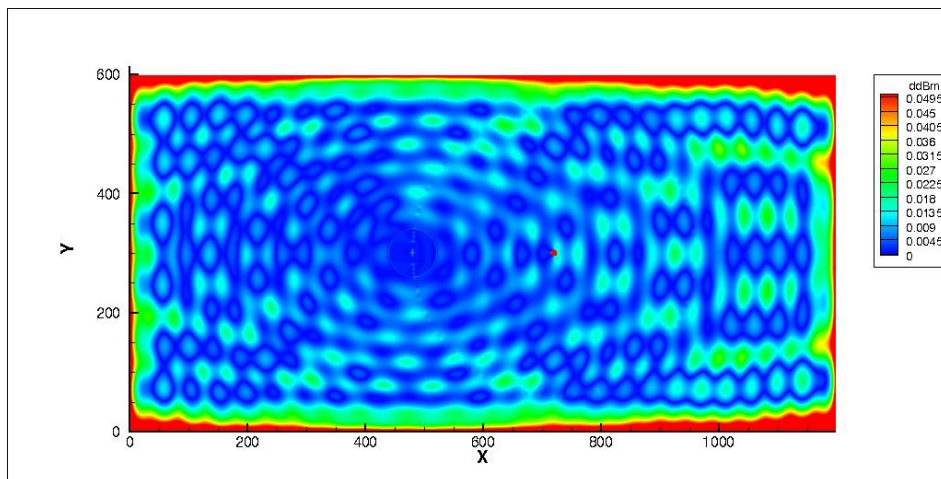


Рис 50. – Ошибки шума точного решения

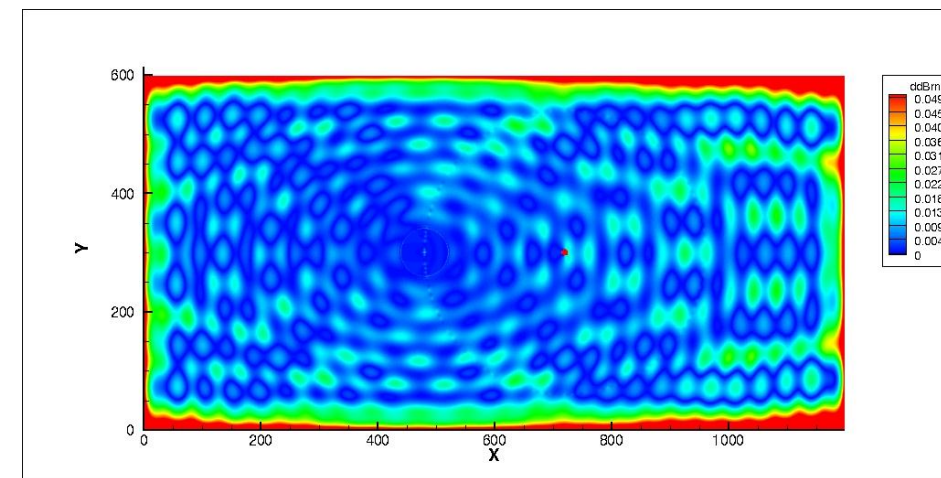


Рис 51. – Ошибки шума приближённого решения

ГЕОМЕТРИЧЕСКОЕ ПРИБЛИЖЕНИЕ (БОЛЬШОЕ РАССТОЯНИЕ)

Сетка – 1200*600

$\lambda = 20, d = 600, a = 200$

$p = \frac{\sqrt{\lambda d}}{2a} \approx 0,274$

$\infty = 400$

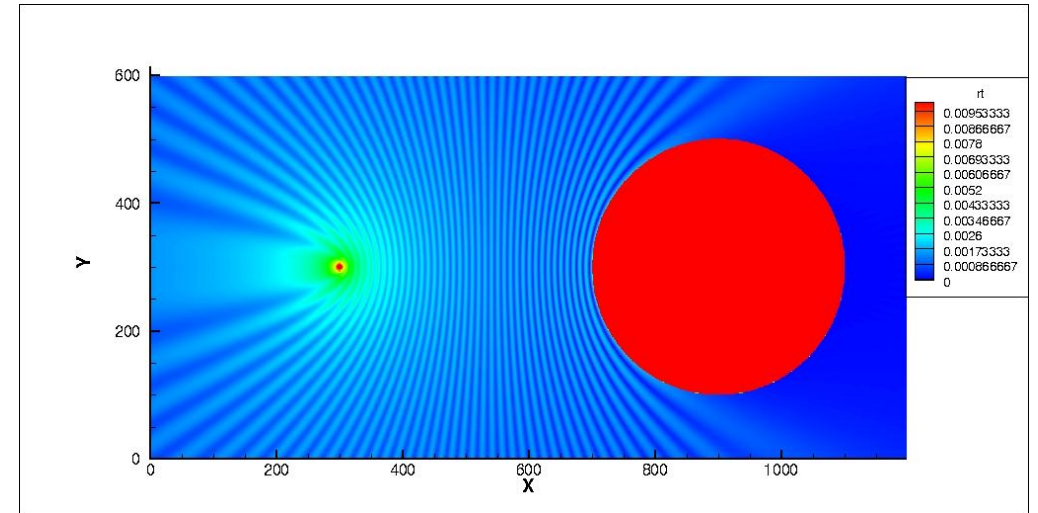


Рис 52. – Невязкое решение

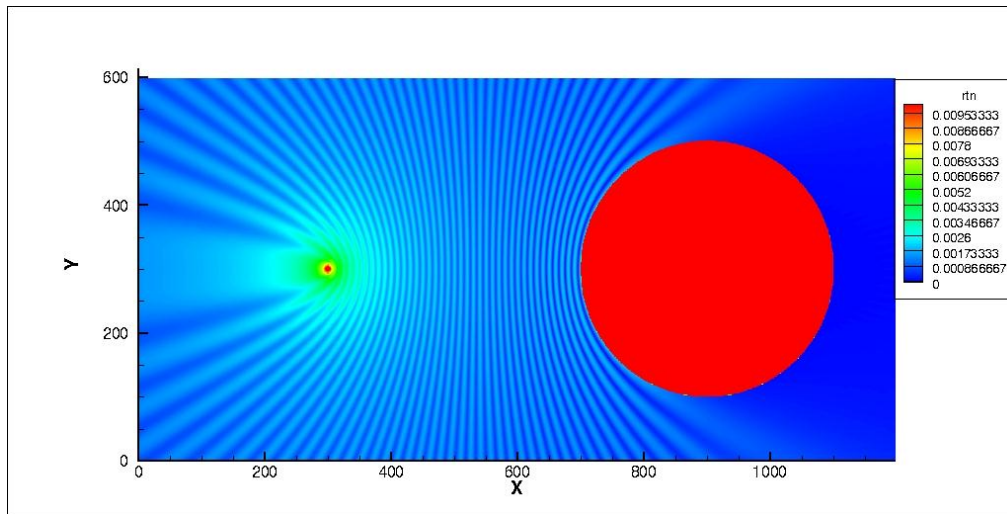


Рис 53. – Точное решение

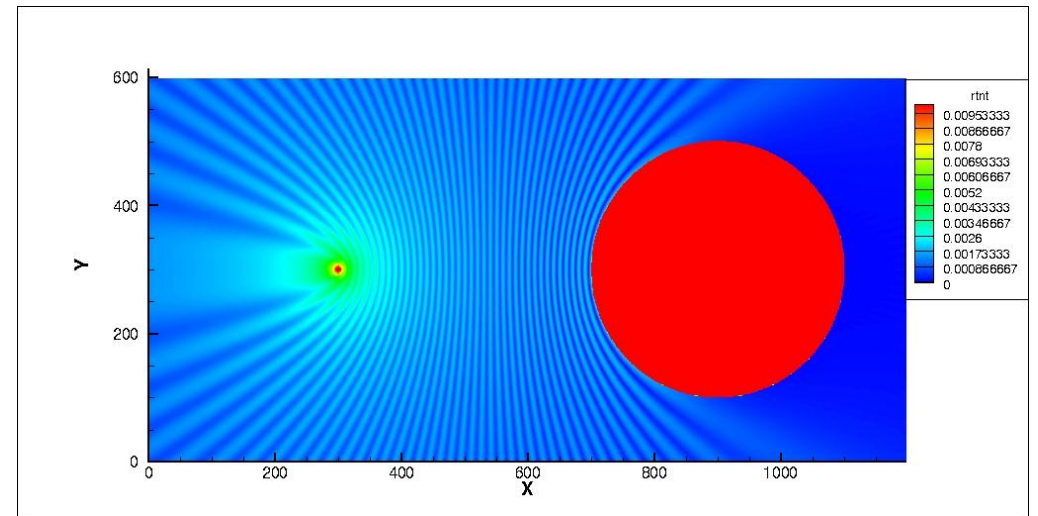


Рис 54. – Приближённое решение

ГЕОМЕТРИЧЕСКОЕ ПРИБЛИЖЕНИЕ (БОЛЬШОЕ РАССТОЯНИЕ)

Сетка – 1200*600

$\lambda = 20, d = 600, a = 200$

$p = \frac{\sqrt{\lambda d}}{2a} \approx 0,274$

$\infty = 400$

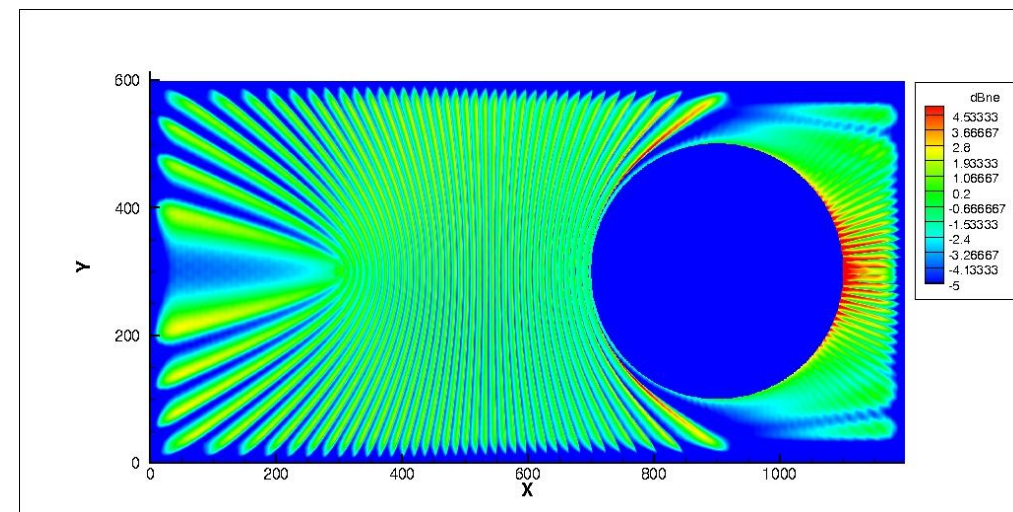


Рис 55. – Ошибки невязкого решения

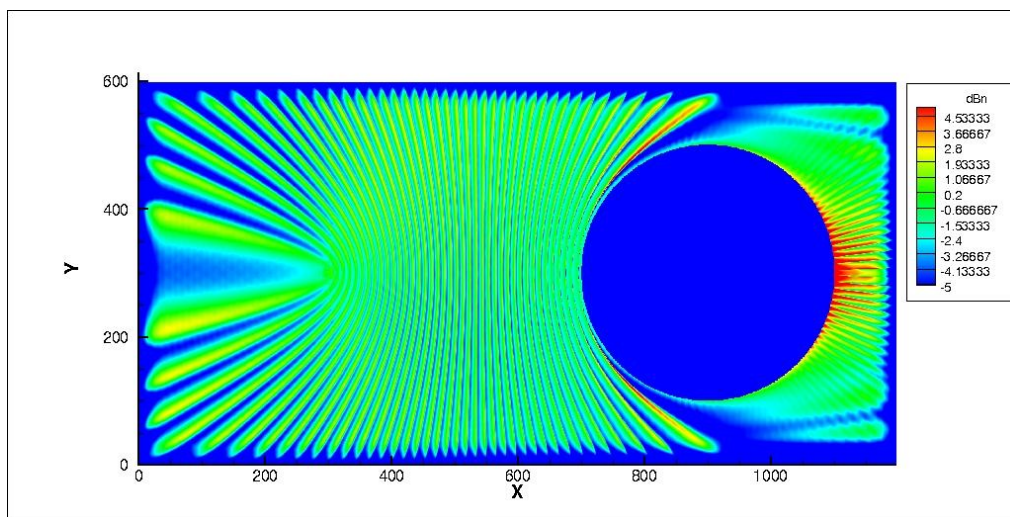


Рис 56. – Ошибки точного решения

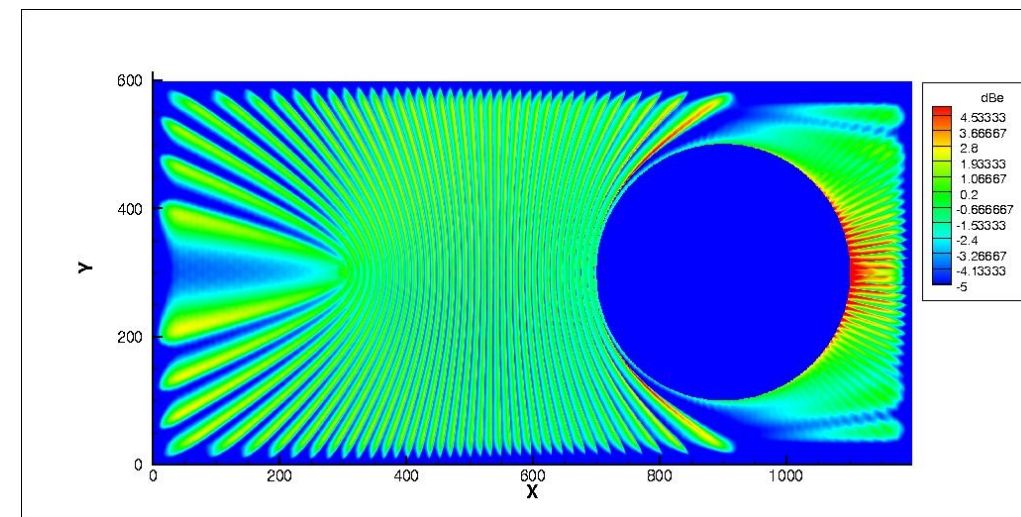


Рис 57. – Ошибки приближённого решения

ГЕОМЕТРИЧЕСКОЕ ПРИБЛИЖЕНИЕ (БОЛЬШОЕ РАССТОЯНИЕ)

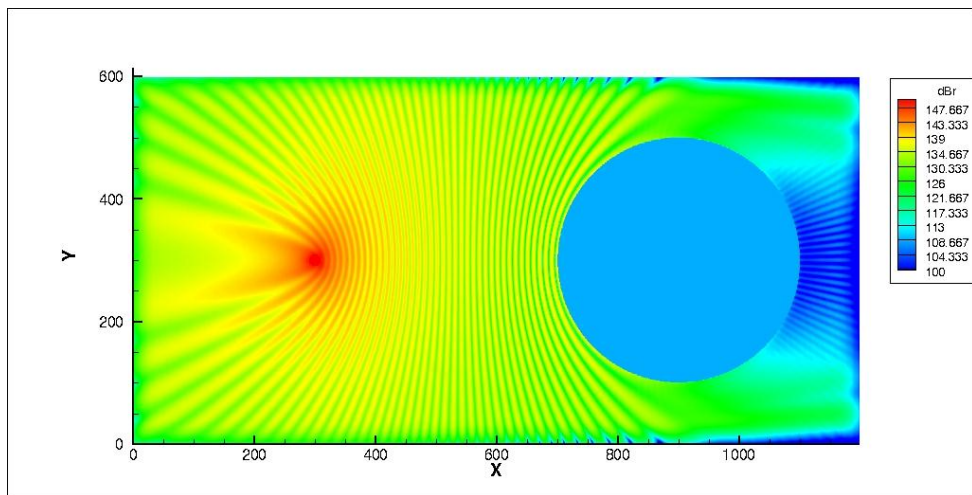


Рис 58. – Уровень шума численный

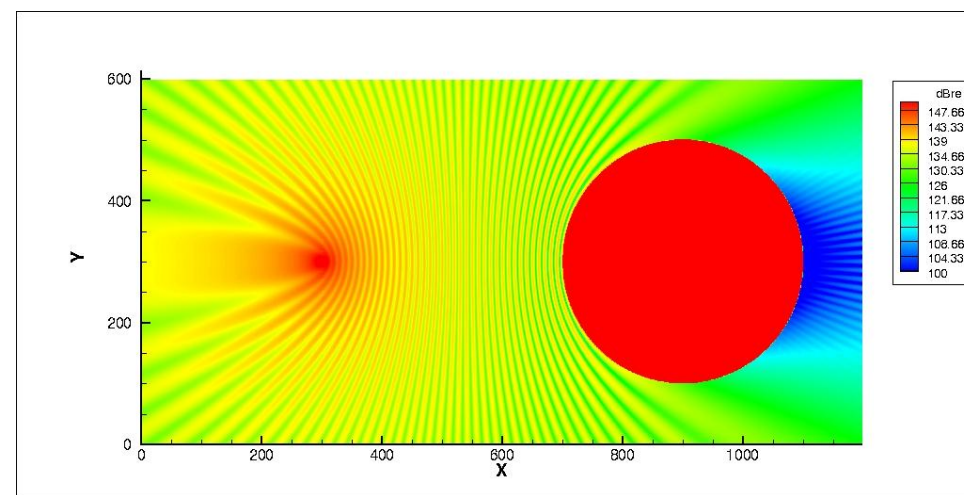


Рис 59. – Уровень шума невязкого решения

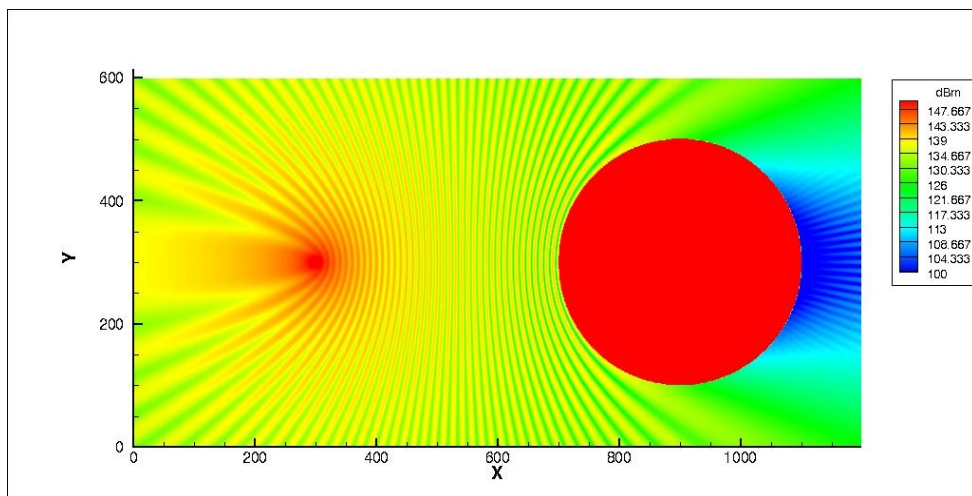


Рис 60. – Уровень шума точного решения

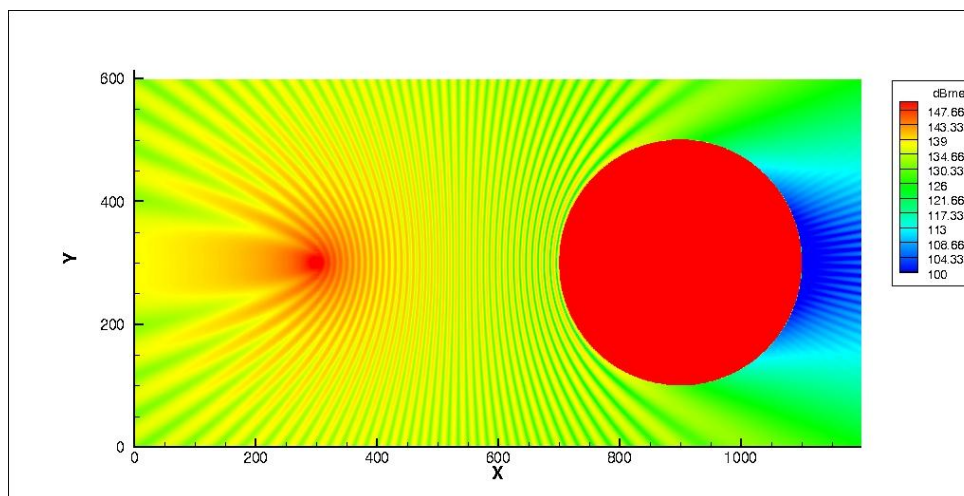


Рис 61. – Уровень шума приближённого решения

ГЕОМЕТРИЧЕСКОЕ ПРИБЛИЖЕНИЕ (БОЛЬШОЕ РАССТОЯНИЕ)

Сетка – 1200*600

$\lambda = 20, d = 600, a = 200$

$$p = \frac{\sqrt{\lambda d}}{2a} \approx 0,274$$

$$\infty = 400$$

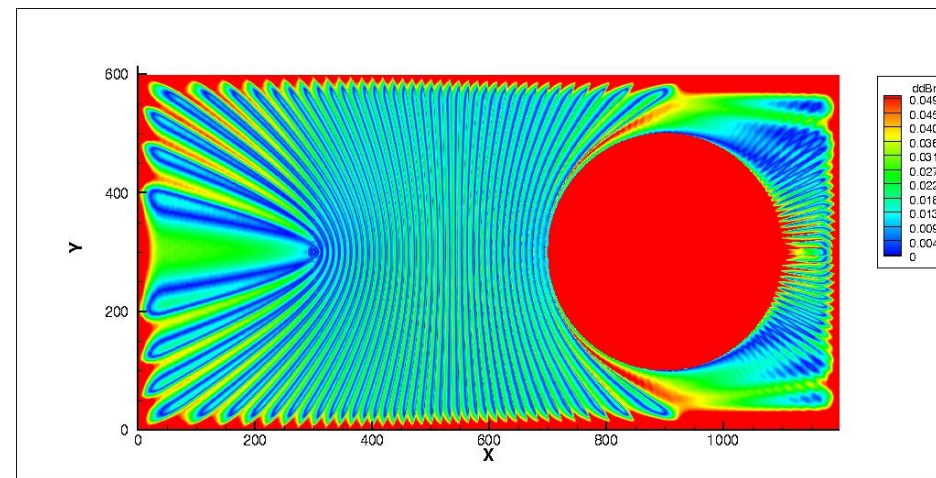


Рис 62. – Ошибки шума невязкого решения

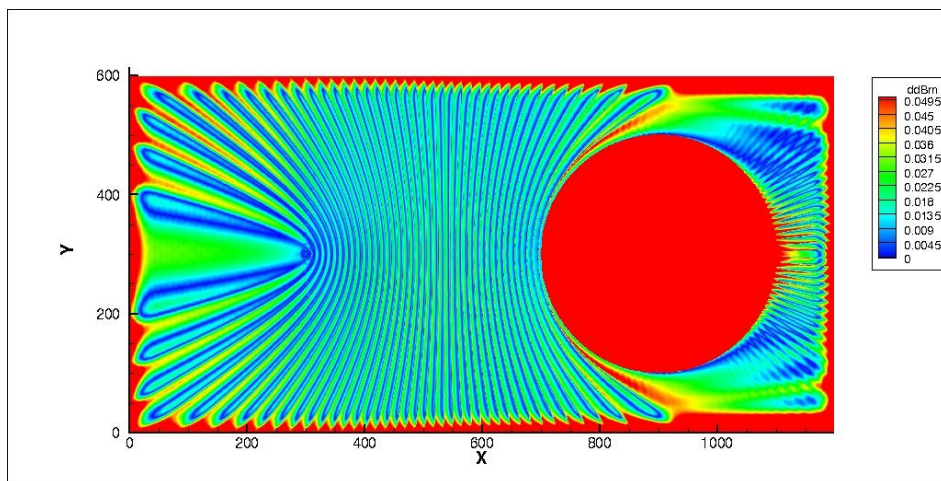


Рис 63. – Ошибки шума точного решения

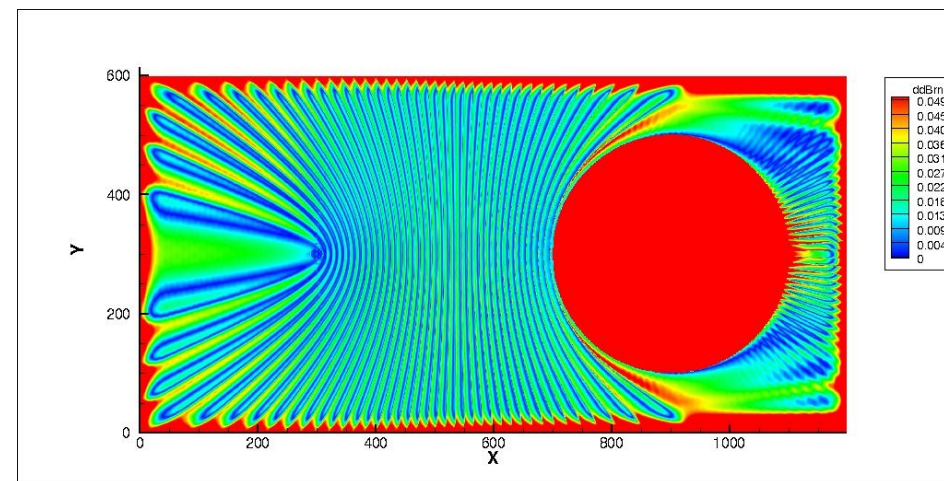


Рис 64. – Ошибки шума приближённого решения

ГЕОМЕТРИЧЕСКОЕ ПРИБЛИЖЕНИЕ (МАЛОЕ РАССТОЯНИЕ)

Сетка – 1200*600

$\lambda = 20, d = 120, a = 100$

$p = \frac{\sqrt{\lambda d}}{2a} \approx 0,245$

$\infty = 300$

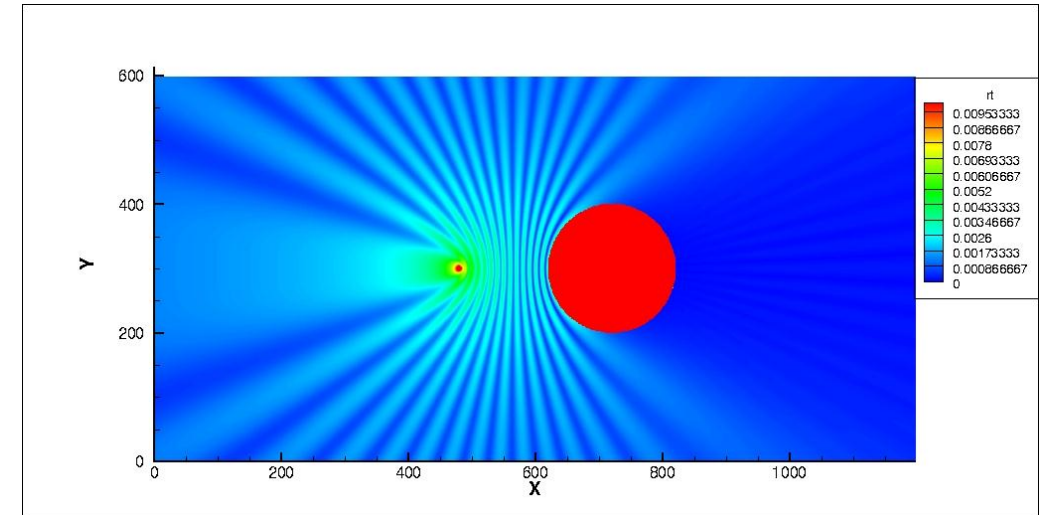


Рис 65. – Невязкое решение

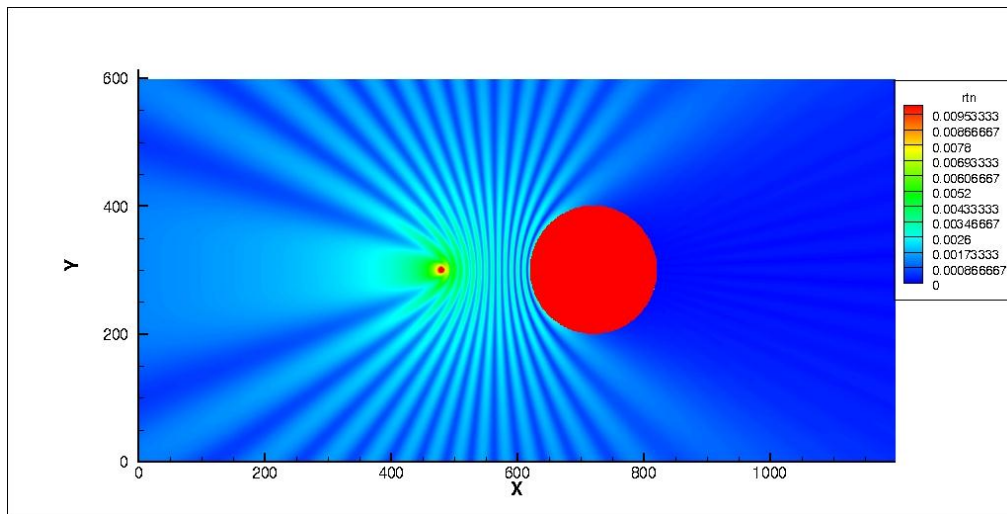


Рис 66. – Точное решение

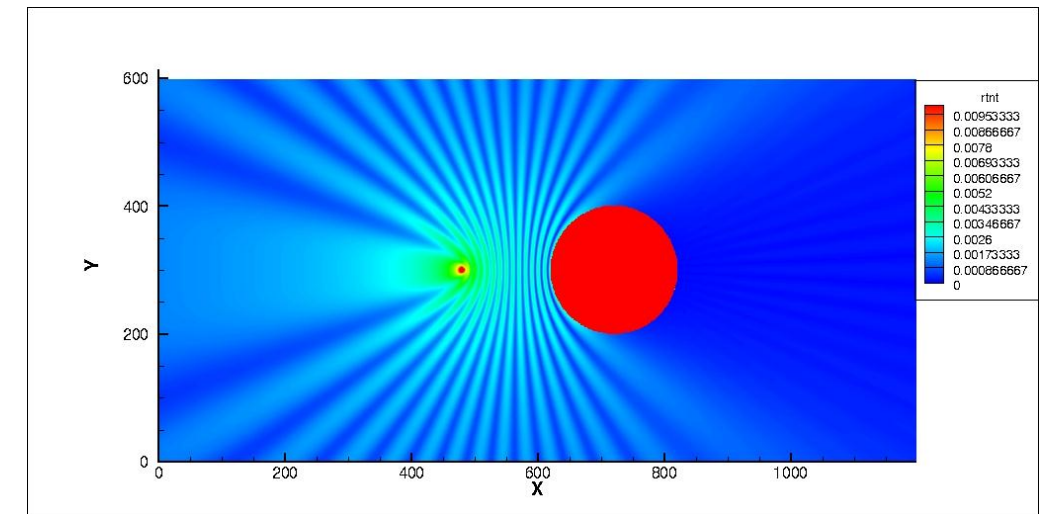


Рис 67. – Приближённое решение

ГЕОМЕТРИЧЕСКОЕ ПРИБЛИЖЕНИЕ (МАЛОЕ РАССТОЯНИЕ)

Сетка – 1200*600

$\lambda = 20, d = 120, a = 100$

$p = \frac{\sqrt{\lambda d}}{2a} \approx 0,245$

$\infty = 300$

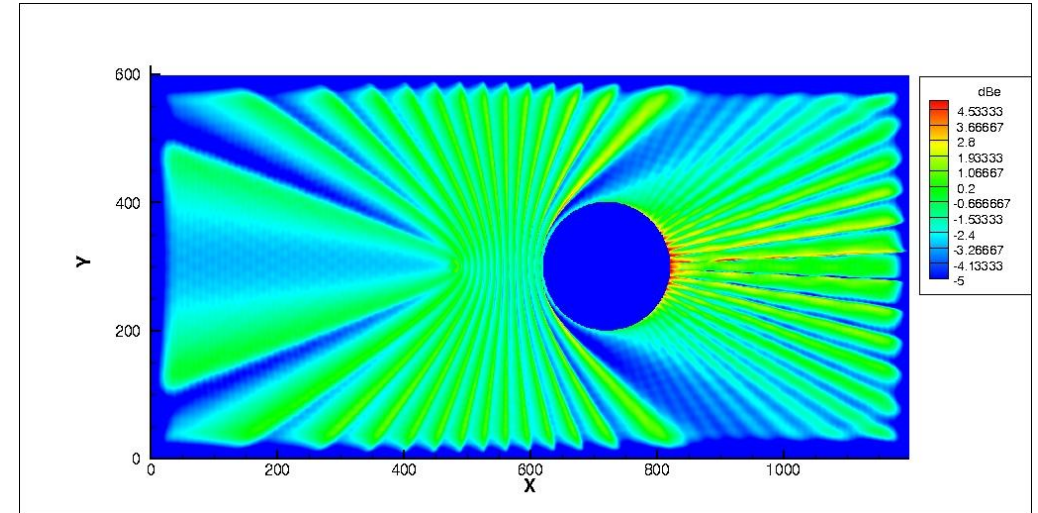


Рис 68. – Ошибки невязкого решения

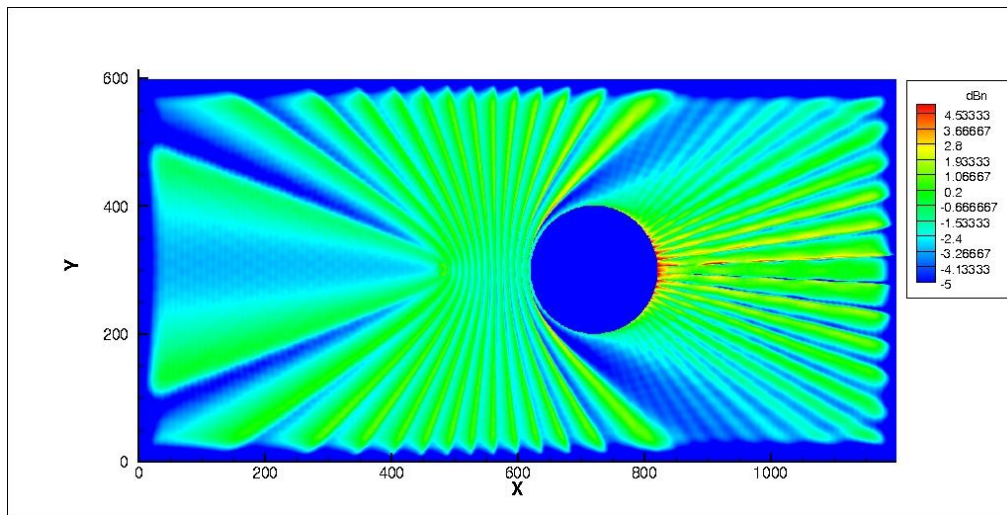


Рис 69. – Ошибки точного решения

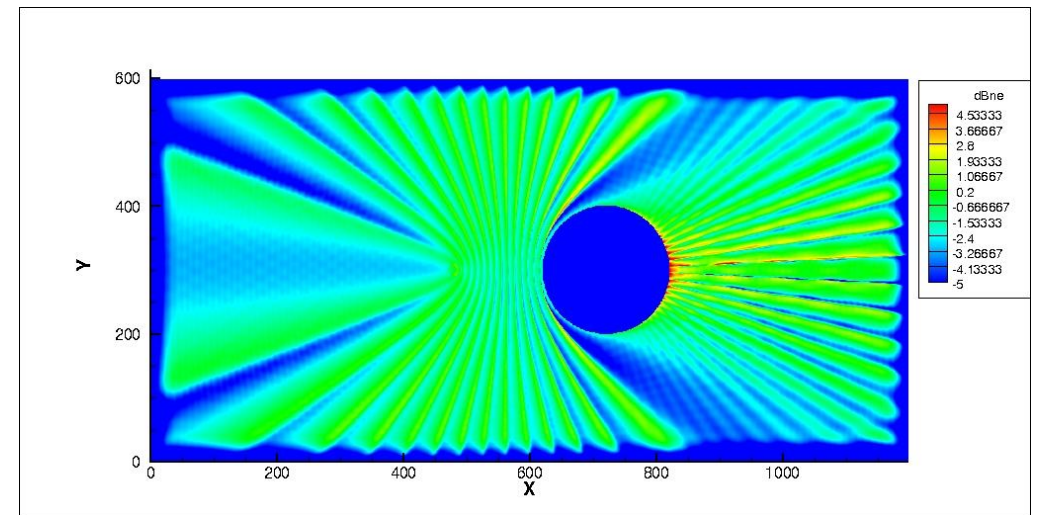


Рис 70. – Ошибки приближённого решения

ГЕОМЕТРИЧЕСКОЕ ПРИБЛИЖЕНИЕ (МАЛОЕ РАССТОЯНИЕ)

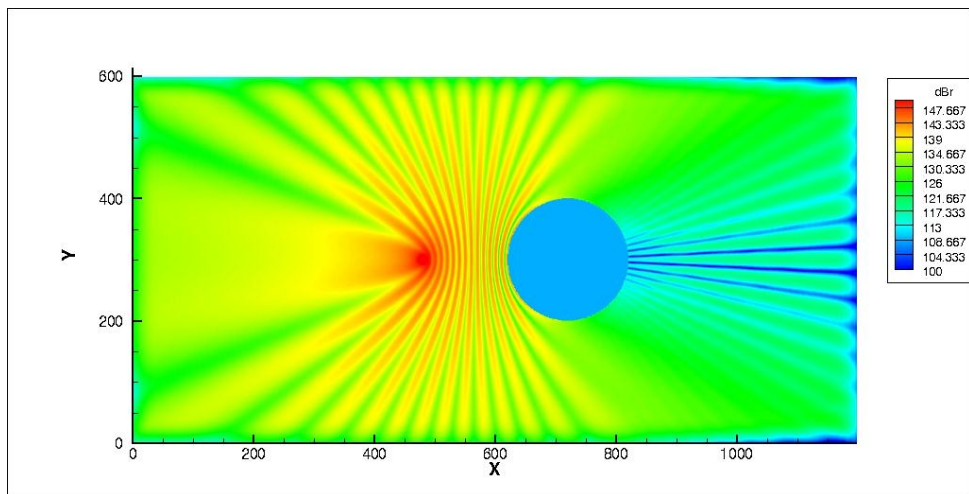


Рис 71. – Уровень шума численный

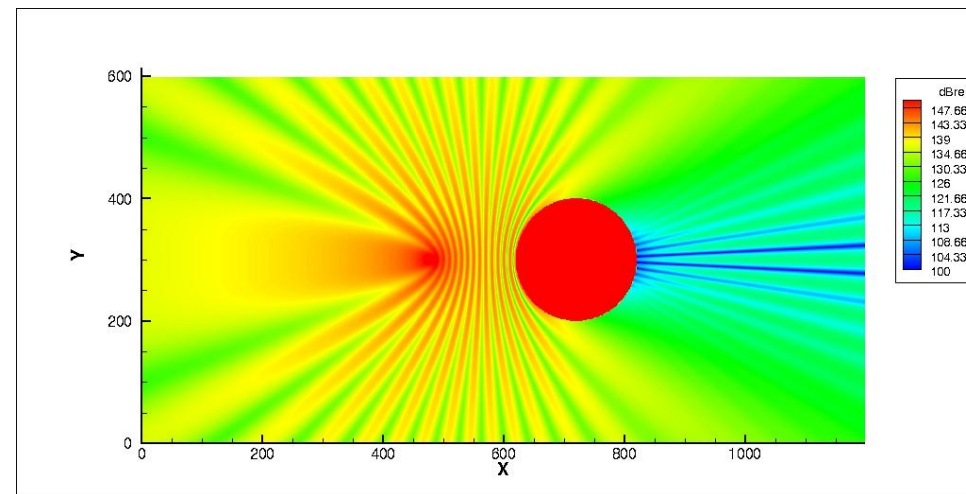


Рис 72. – Уровень шума невязкого решения

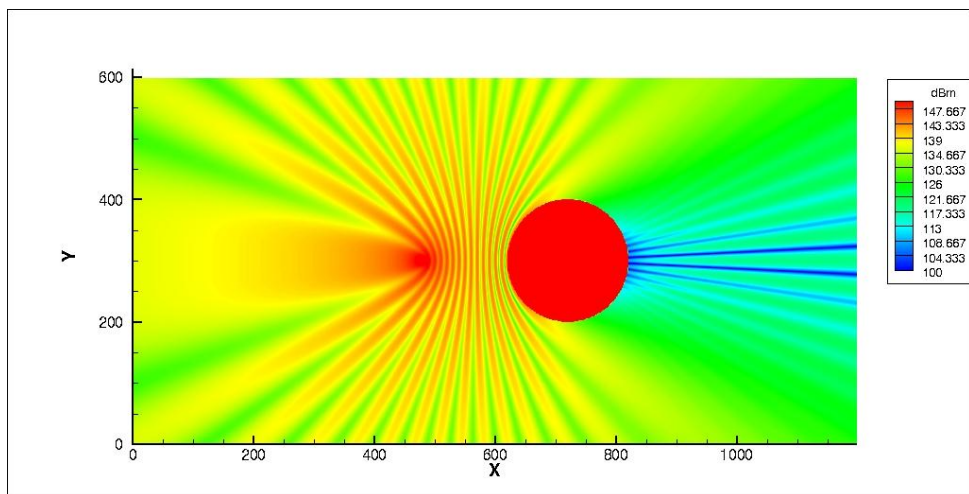


Рис 73. – Уровень шума точного решения

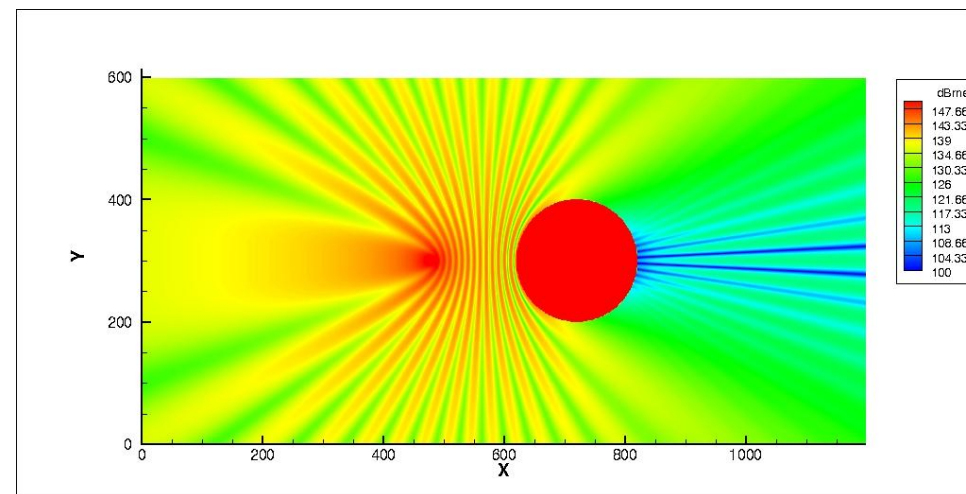


Рис 74. – Уровень шума приближённого решения

ГЕОМЕТРИЧЕСКОЕ ПРИБЛИЖЕНИЕ (МАЛОЕ РАССТОЯНИЕ)

Сетка – 1200*600

$\lambda = 20, d = 120, a = 100$

$p = \frac{\sqrt{\lambda d}}{2a} \approx 0,245$

$\infty = 300$

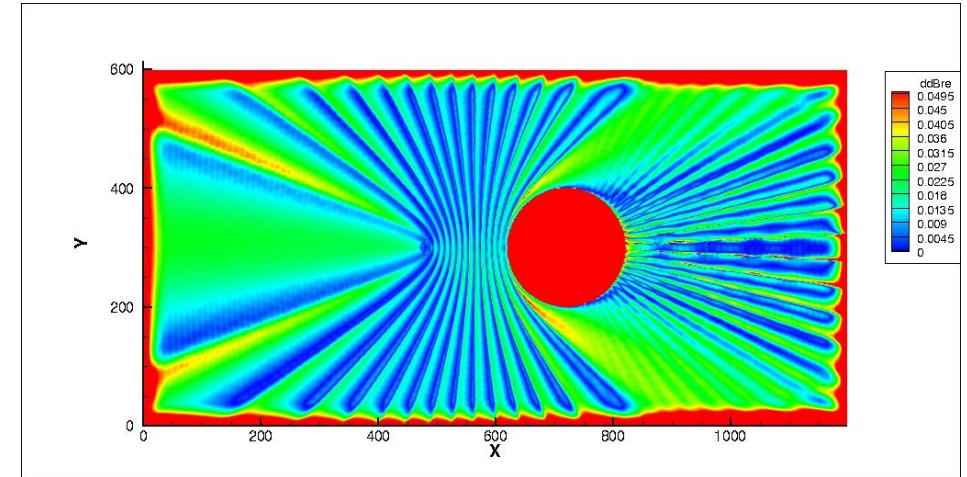


Рис 75. – Ошибки шума невязкого решения

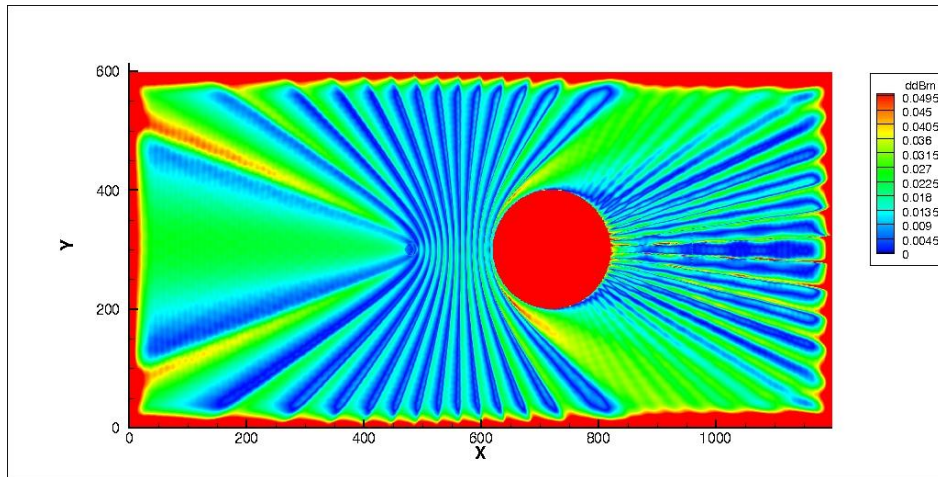


Рис 76. – Ошибки шума точного решения

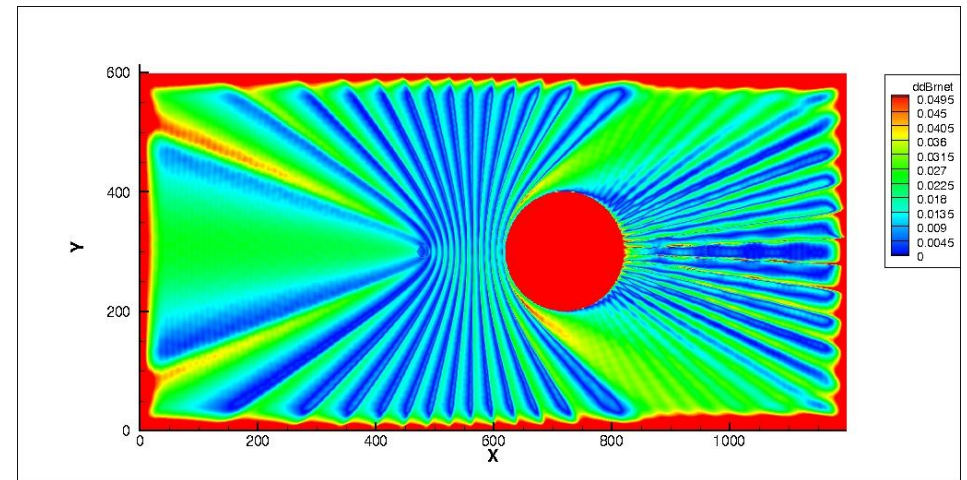


Рис 77. – Ошибки шума приближённого решения



Центральный институт авиационного
моторостроения имени П.И. Баранова

Спасибо за внимание!

111116, Россия, Москва,
ул. Авиамоторная, 2
www.ciam.ru

Тел.: +7 (499) 763 57 47
E-mail: info@ciam.ru